



# CMS Masterclasses

## Bulgaria - 2024



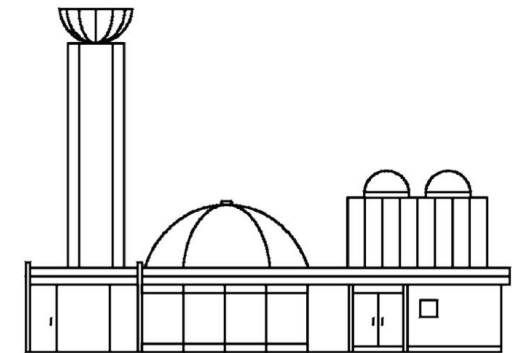
**The CMS detector,  
Methodology and Practical work**

06.03.2024 – Sofia

**Mariana Shopova (CMS)**  
Plovdiv University “Paisii Hilendarski”  
INRNE – Bulgarian Academy of Sciences



International Particle  
Physics Outreach Group



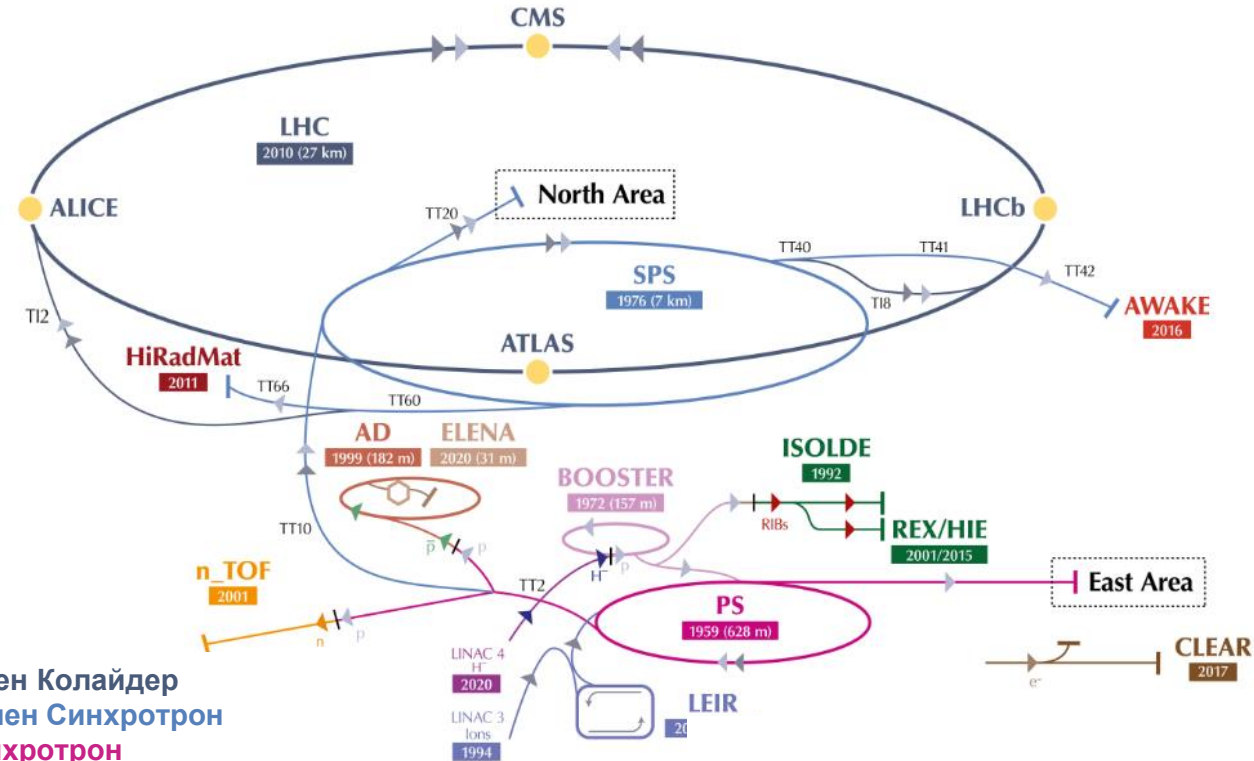
## **Детектори - експериментът CMS**

# Голям адронен колайдер LHC



# Система от ускорители на ЦЕРН

The CERN accelerator complex  
Complexe des accélérateurs du CERN



## Ускорители

LHC – Голям Адронен Колайдер

SPS – Супер Протонен Синхротрон

PS – Протонен Синхротрон

AD – Антипротонен деселератор

CTF3 – Тестов Стенд за Експеримента CLIC

CNGS – Неутринен сноп от ЦЕРН за Гран

Caco

ISOLDE – Установка за изучаване на Ядрени  
Изотопи

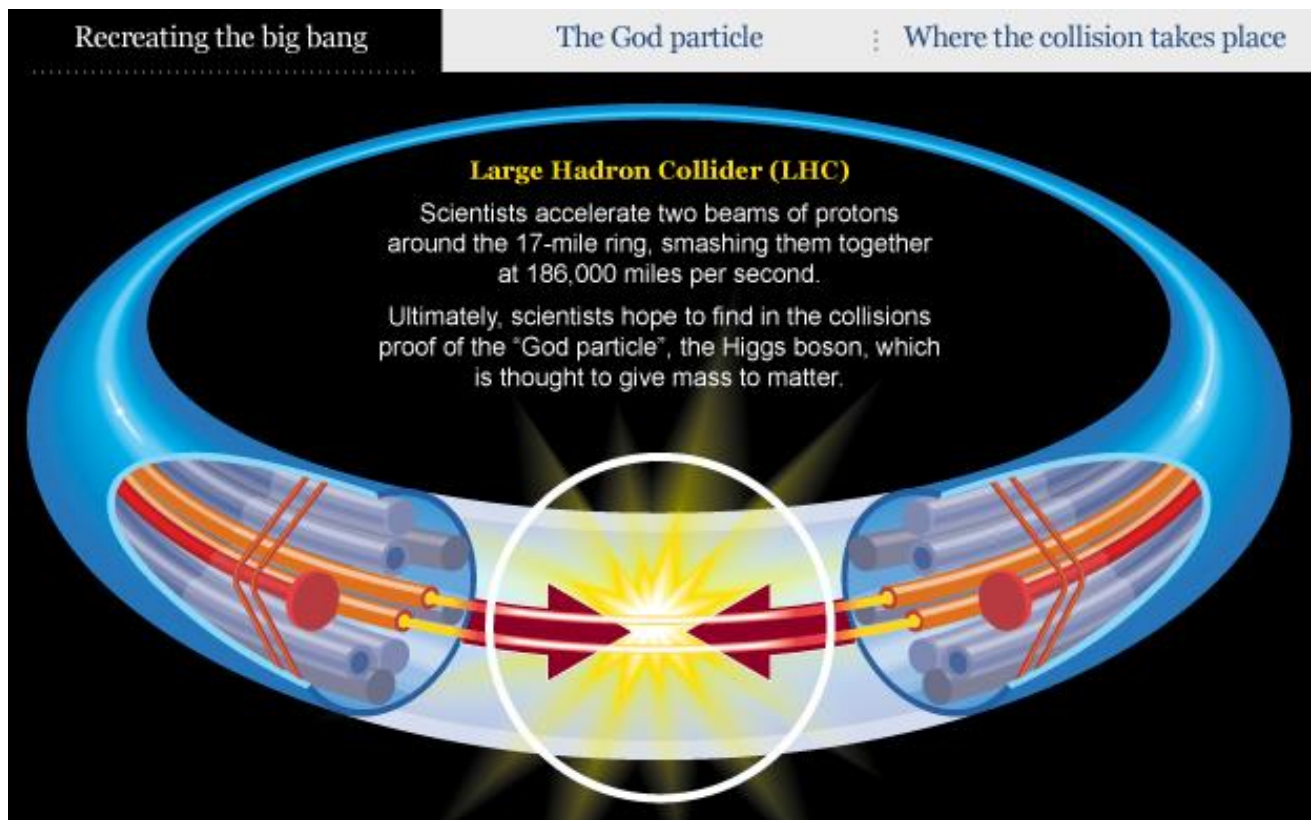
LEIR – Пръстен за Иоni с Ниски Енергии

LINAC 2 – Линеен Ускорител 2

N-TOF – Неутрона Установка

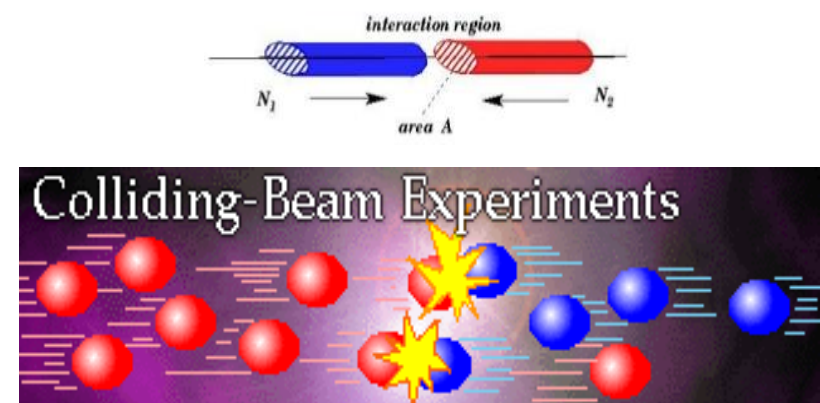
## Снопове:

- ▶ Протони
- ▶ Иоni
- ▶ Неутрони
- ▶ Антипротони
- ▶ Електрони



- Връзка (превръщане) между енергия и маса:  $E = mc^2$
- При сблъсъка на сноповете от протони се раждат много нови частици.
- По-тежките частици са нестабилни и се разпадат бързо до по-леки частици, които можем да измерим.

- Ускорител на заредени частици - в нашия случай протони
- Сблъскване на частици - енергия на взаимодействието:
  - $E = E(\text{сноп 1}) + E(\text{сноп 2})$
- Най-висока енергия на сблъсъците на LHC досега:
  - $E = 13 \text{ [TeV]} = 2 \times 6.5 \text{ [TeV]}$   
(2015 - 2018 г.)
- Проектна енергия на LHC:
  - $E = 14 \text{ TeV}$



Ако сме създали частици при сблъсък в ускорител, искаме да можем да ги разглеждаме и изучаваме. И тук идват детекторите за частици. Ние ги изграждаме в точките на сблъсък в ускорител и ги използваме, за да идентифицираме колкото се може повече от това, което е произведено при сблъсъка.

**Принципът на детектора за частици е прост. Той никога няма да „види“ частица директно, но показва къде е пътувала, какви следи оставя след себе си и ефекта, който има върху детектора, когато бъде спряна, докато излита от сблъсъка.**

Детекторите се състоят от слоеве от различни видове материал, които се използват или да ни покажат пътя на частицата, докато се движат, или да я абсорбират, за да накарат частицата да спре.

Можем да идентифицираме различни видове частици в зависимост от това къде спират в детектора и как изглежда пътят им. Това е малко като полицейско разследване след автомобилна катастрофа – ако знаем какви частици са се образували при сблъсъка, в каква посока са летяли и колко енергия са имали, можем да реконструираме какво точно се е случило при сблъсъка.

## Как изглежда един детектор?



# Експериментът CMS (Run1&2) (Компактен мюонен соленоид)

Електромагнитен калориметър  
Кристали от оловен волфрамат

Соленоидален магнит  
Суперпроводяща намотка  
Магнитно поле:  
3.8 Т във вътрешността,  
затворена от магнита  
~1.8 Т извън магнита

Желязна конструкция (yoke) на детектора  
През него се затварят магнитните силови линии

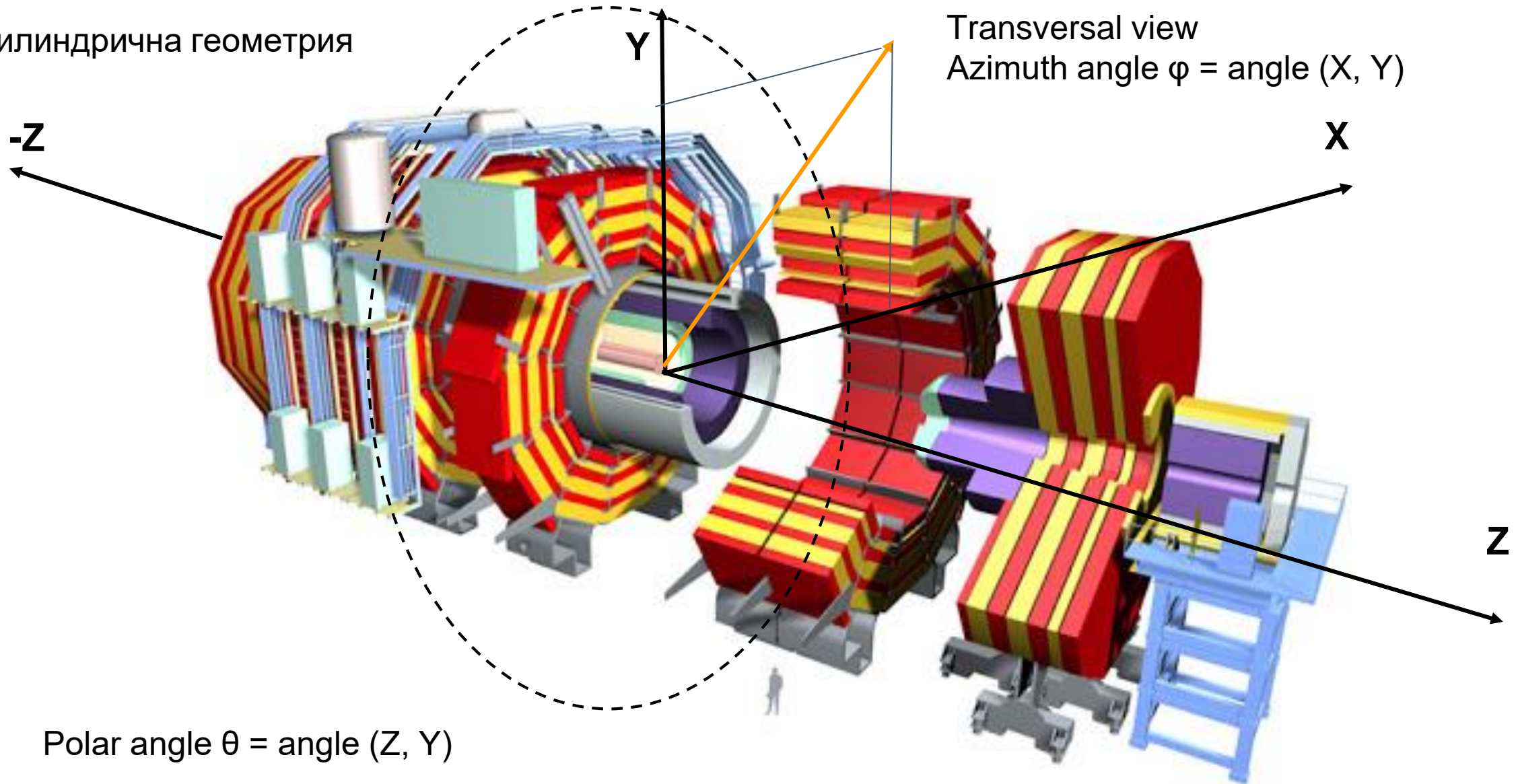
Вътрешен треков детектор – две основни системи:  
Силициев пикселов детектор  
Силициев микрострипов детектор

Адронен калориметър - тип сандвич  
Стомана (в централната част)  
или месинг (в затварящите части)  
и пластмасови сцинтилатори

Мюонна система - централна част:  
Камери с дрейфови тръби (DT)  
Камери със съпротивителна плоскост (RPC)

Мюонна система –  
затварящи части:  
Катодни стрипови  
камери (CSC)  
Камери със  
съпротивителна  
плоскост (RPC)

Цилиндрична геометрия

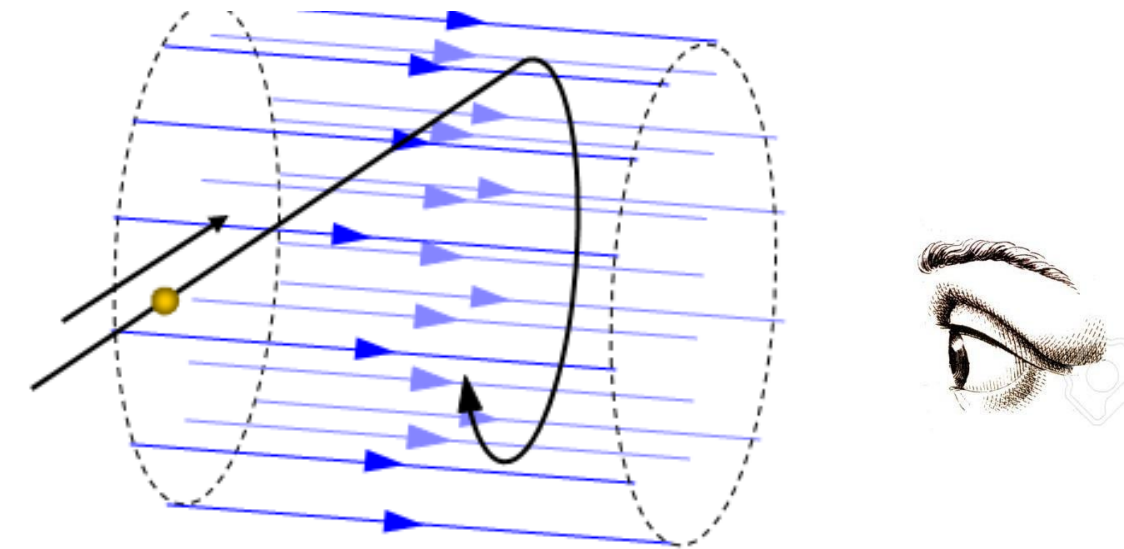
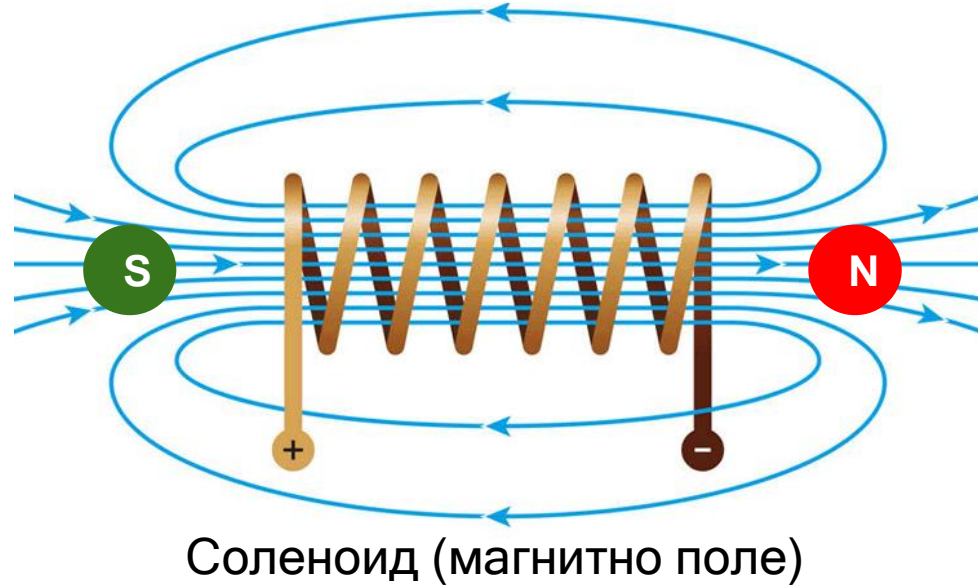


Polar angle  $\theta = \text{angle} (Z, Y)$

Transversal view  
Azimuth angle  $\phi = \text{angle} (X, Y)$

$$-\ln \tan \left( \frac{\theta}{2} \right) = \eta \quad \eta\text{-Pseudorapidity}$$

# Движение на заредена частица в магнитно поле

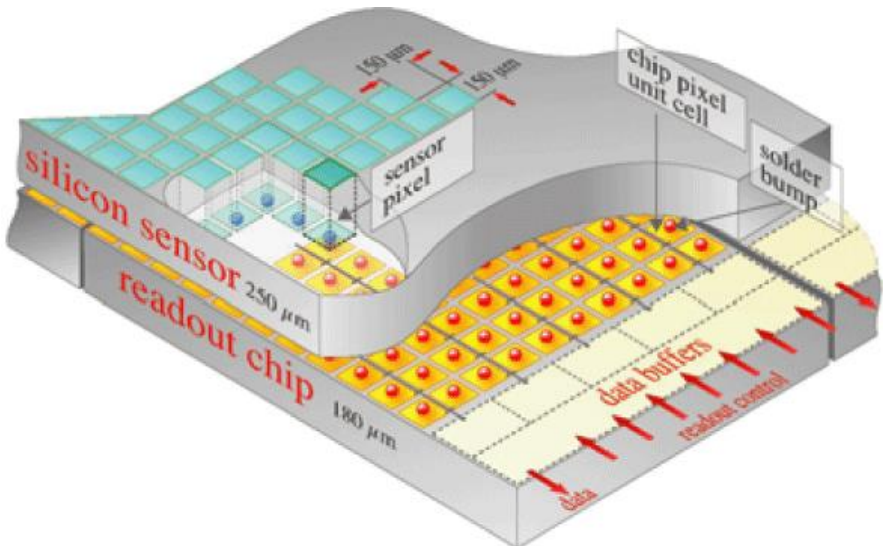


Траекторията на заредена частица се закривява в магнитно поле.

Ако гледаме срещу посоката на магнитното поле, положително заредените частици ще се отклоняват по посока на часовниковата стрелка, а отрицателно заредените в обратна посока.  
В приложението iSpyWebGI, посоката на магнитното поле във вътрешността на магнита е по посока на оста Z. В основния XY изглед, оста Z е насочена към наблюдателя.

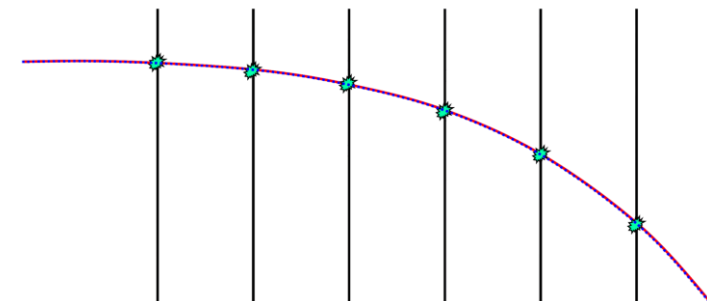
# Определяне на импулс и заряд – Вътрешен треков детектор

## Полупроводников детектор на трекове



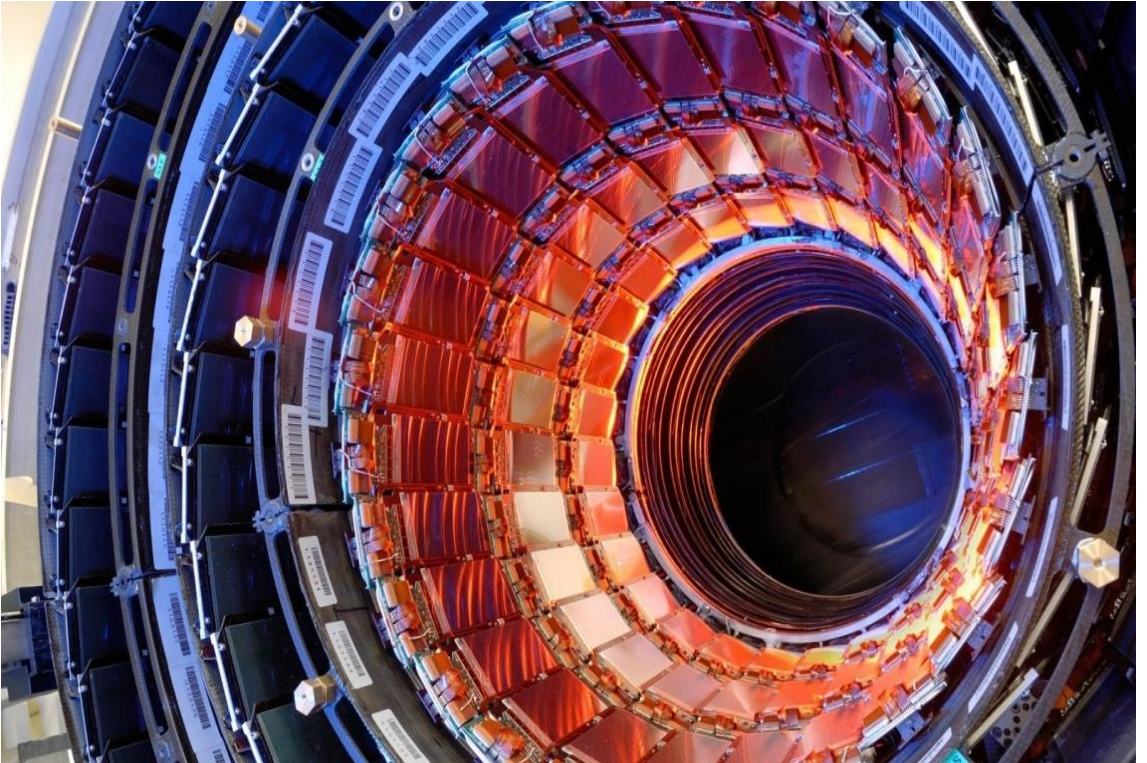
Пикселен детектор на трекове – многослоен полупроводников детектор от тънки пластинки с нанесена върху им електроника

\*\*\*Трек е следата, която оставя заредена частица при преминаването си през детектор

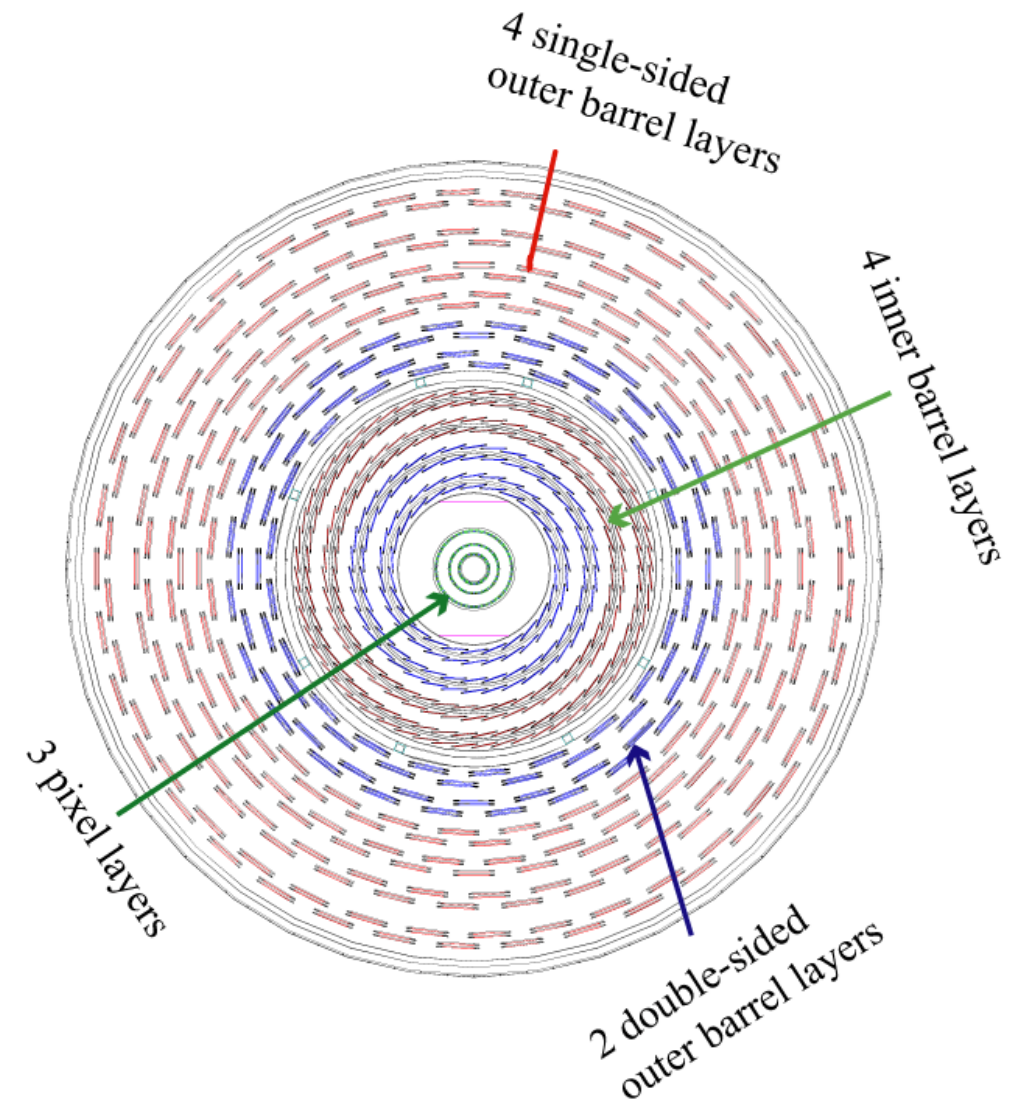


Сигналите от вътрешния треков детектор, позволяват да се реконструират техните траектории. Големината на закривяване на техните траектории позволяват определянето на техния импулс по формулата  $r \sim p/B$ , където  $r$  [m] е радиусът на кривината,  $p$  [GeV/c] – импулсът на електрона, а  $B$  [T] е магнитното поле.

# Определяне на импулс и заряд – Вътрешен треков детектор



10 layers of Silicon Strip Sensors surrounding  
2–3 layers of Silicon Pixel Sensors  
  
15k silicon modules containing 76M pixels + strips

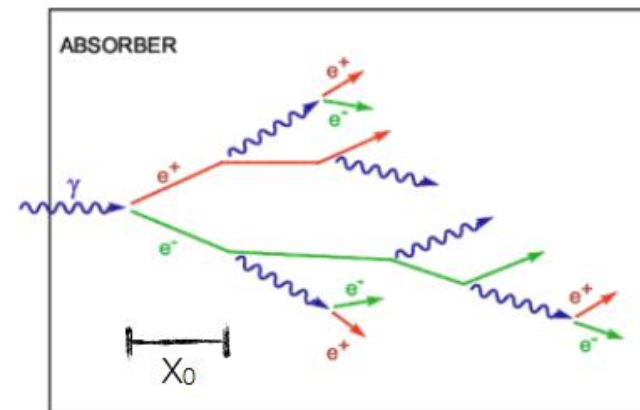
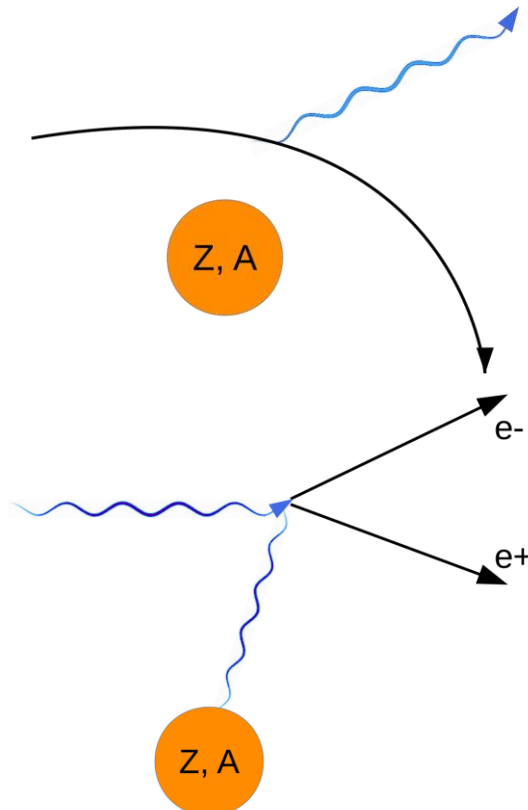


# Детектиране на електрони, позитрони и фотони

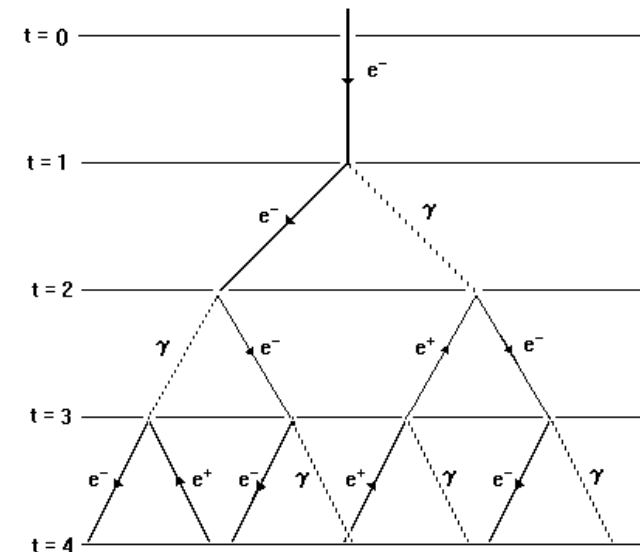
## Електромагнитна лавина във вещество

Два процеса на загуба на енергия в плътна среда за  $e^\pm$  с  $E > 1\text{GeV}$  или фотони:

- излъчване на фотон от заредена частица (примерно  $e^+$  или  $e^-$ ) при движение в полето на ядро от средата
- раждане на  $e^+e^-$ - двойки от фотон, в полето на ядро от средата

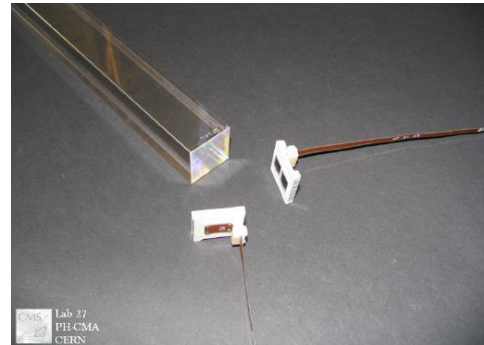


Енергията на частицата, инициирала лавината е пропорционална на броя изсветени фотони



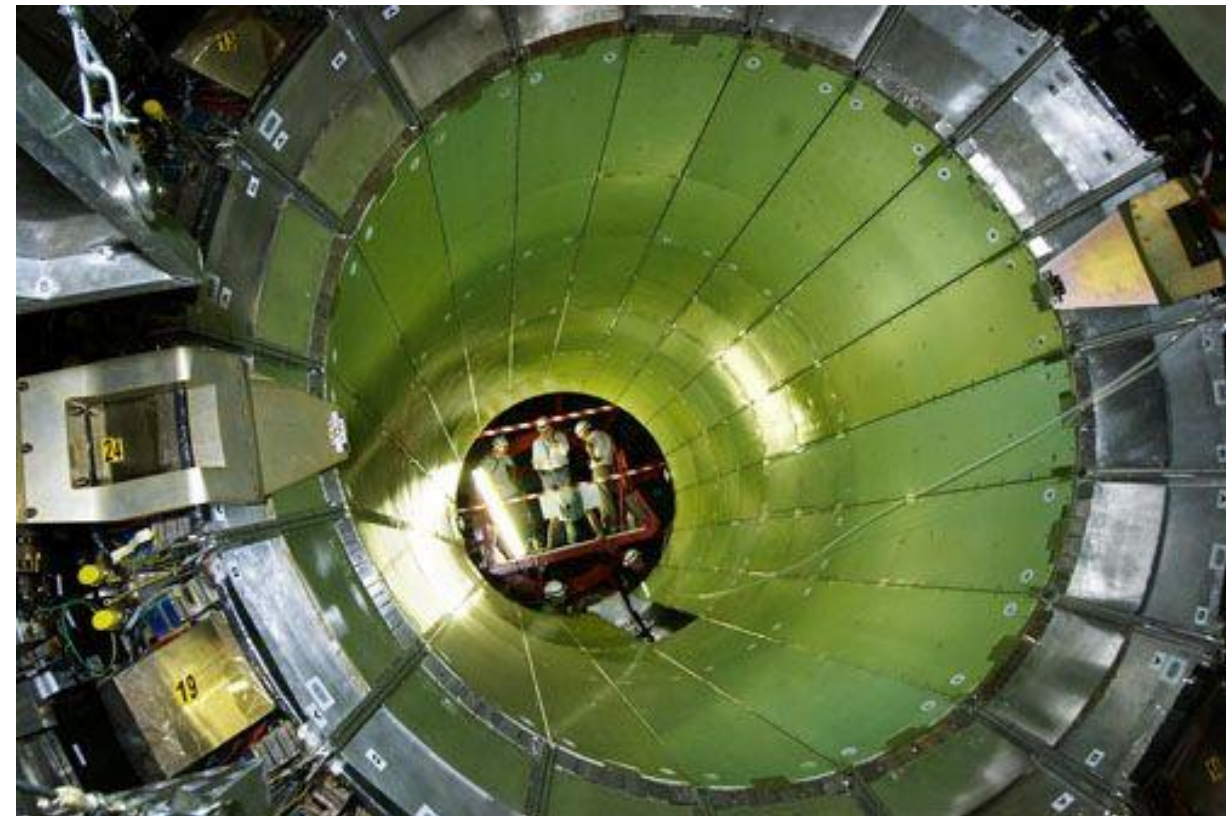
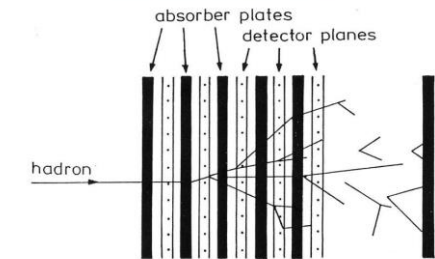
## ECAL – електромагнитен калориметър на CMS

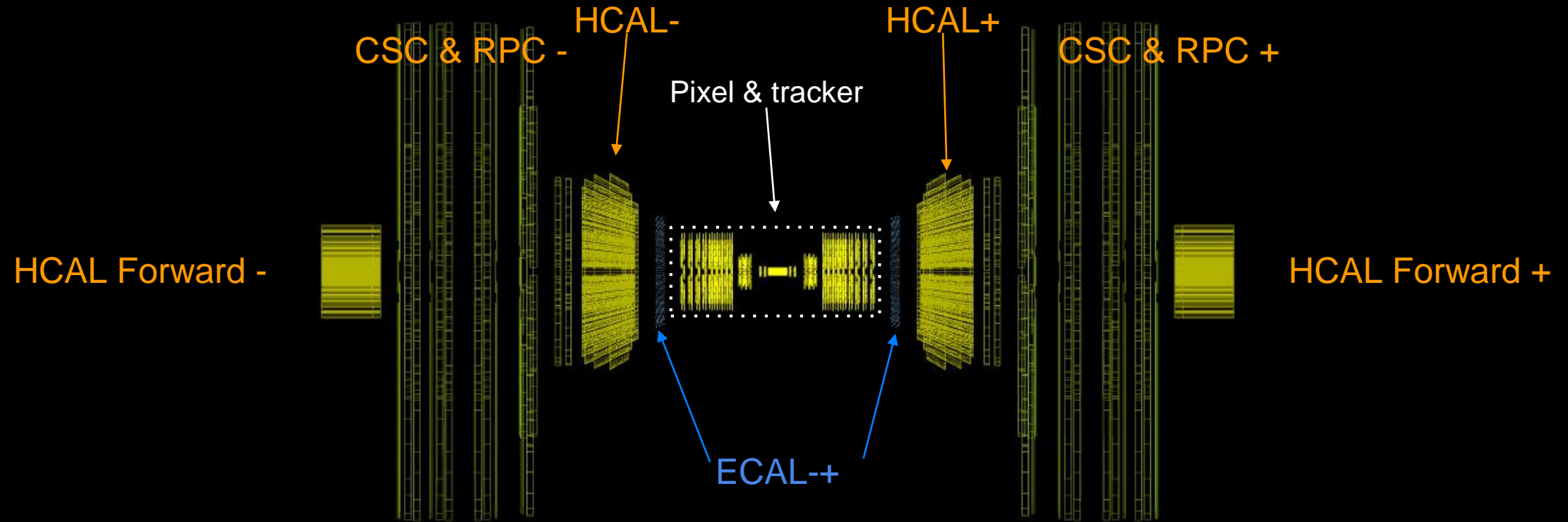
Кристал от оловен волфрамат и лавинни фотодиоди, използвани в ECAL на CMS



## HCAL – адронен калориметър на CMS

Sampling Calorimeter

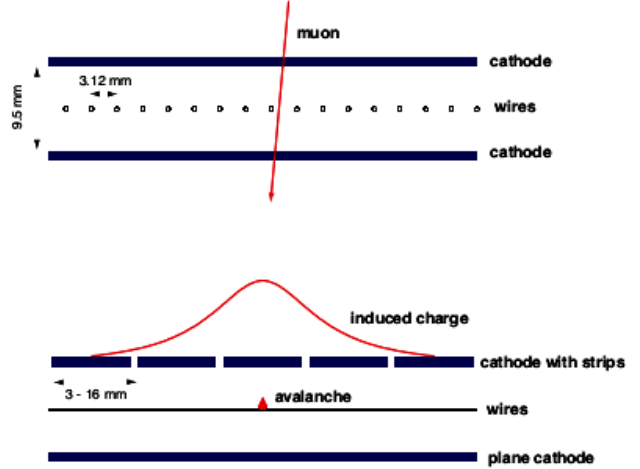
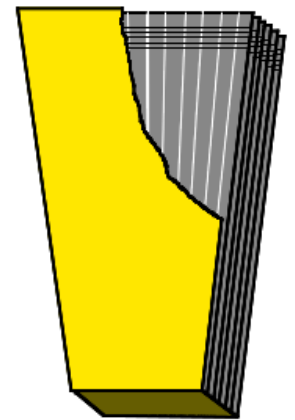
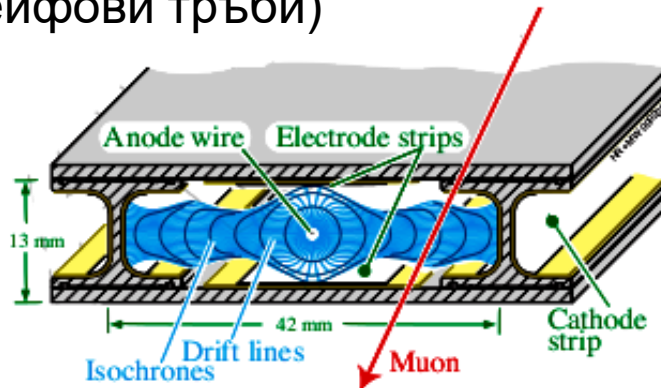
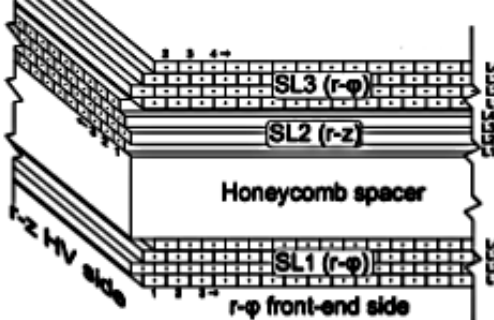




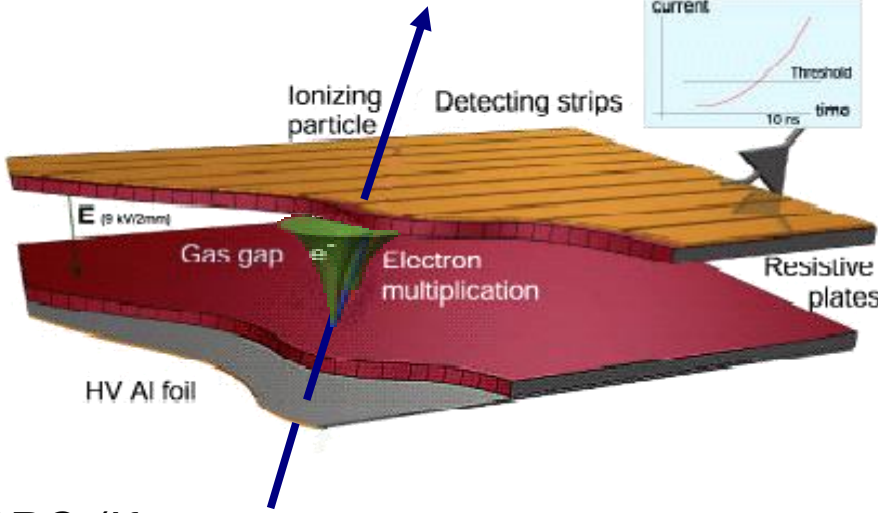
Забележка: не са показани всички детекторни слоеве, за да не се претрупва фигурата.

# Мюонна система на CMS (Run1 & Run2)

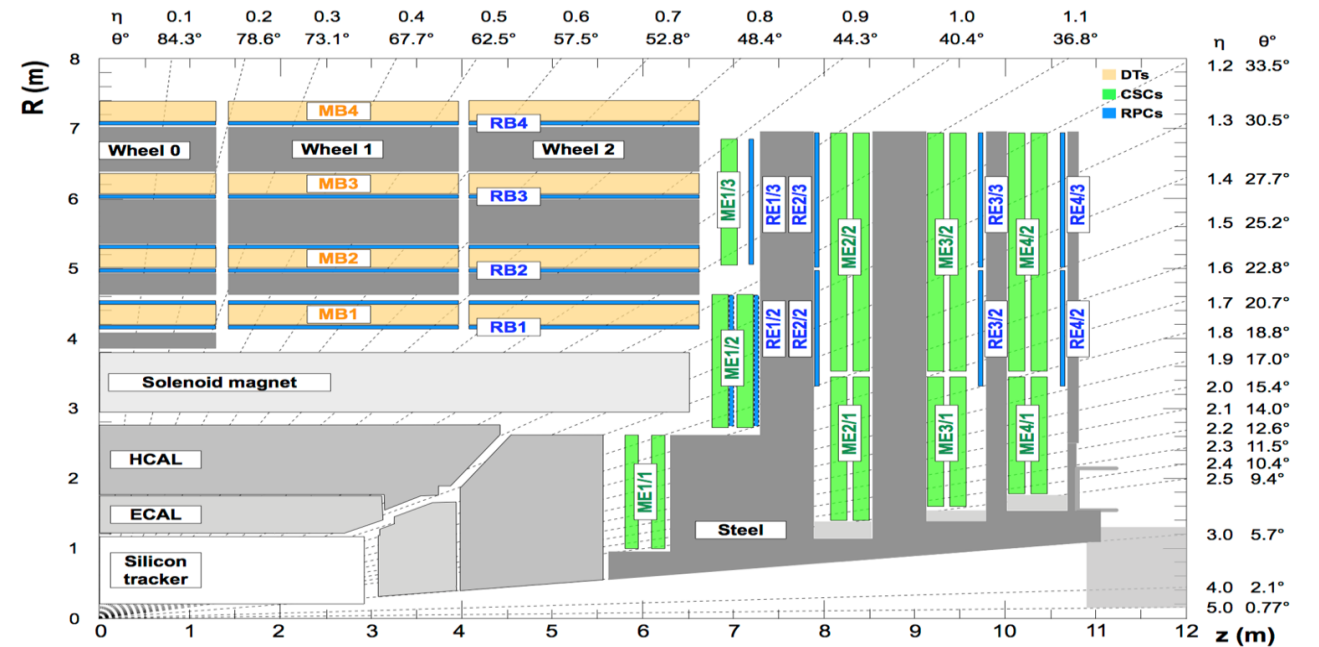
DT (Камери с дрейфови тръби)



CSC (Катодно стрипови камери)

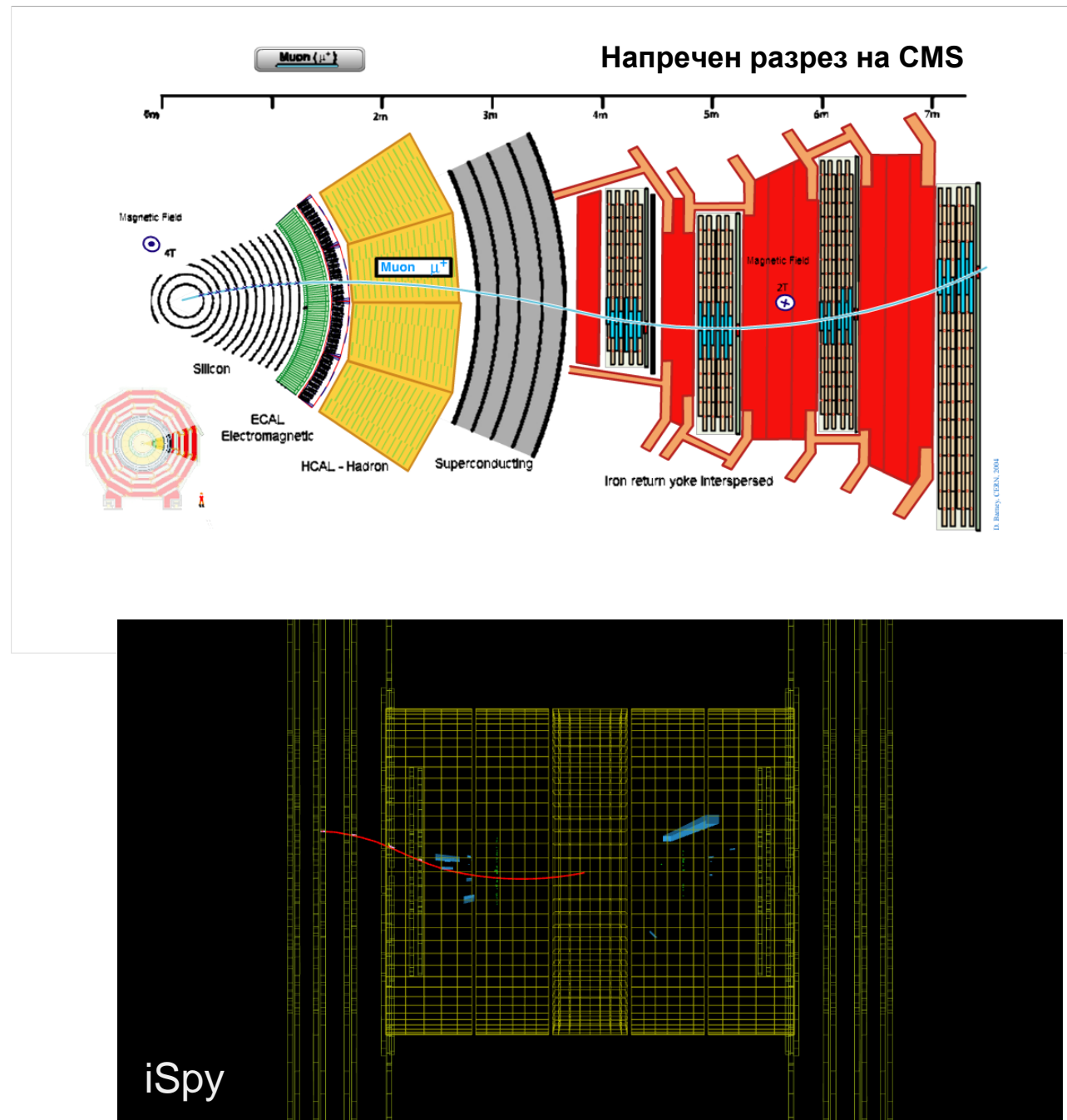


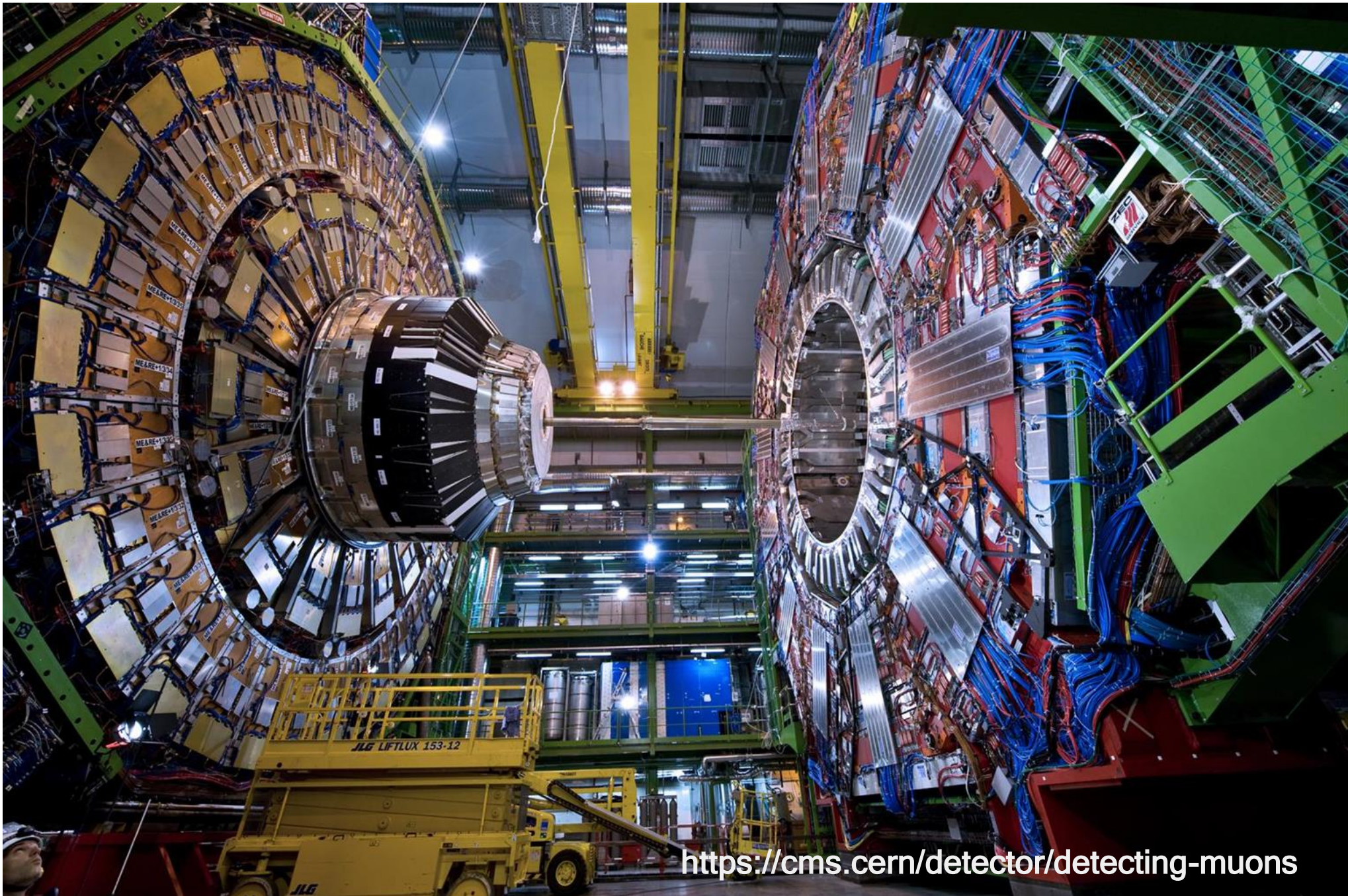
RPC (Камери със съпротивителна плоскост)



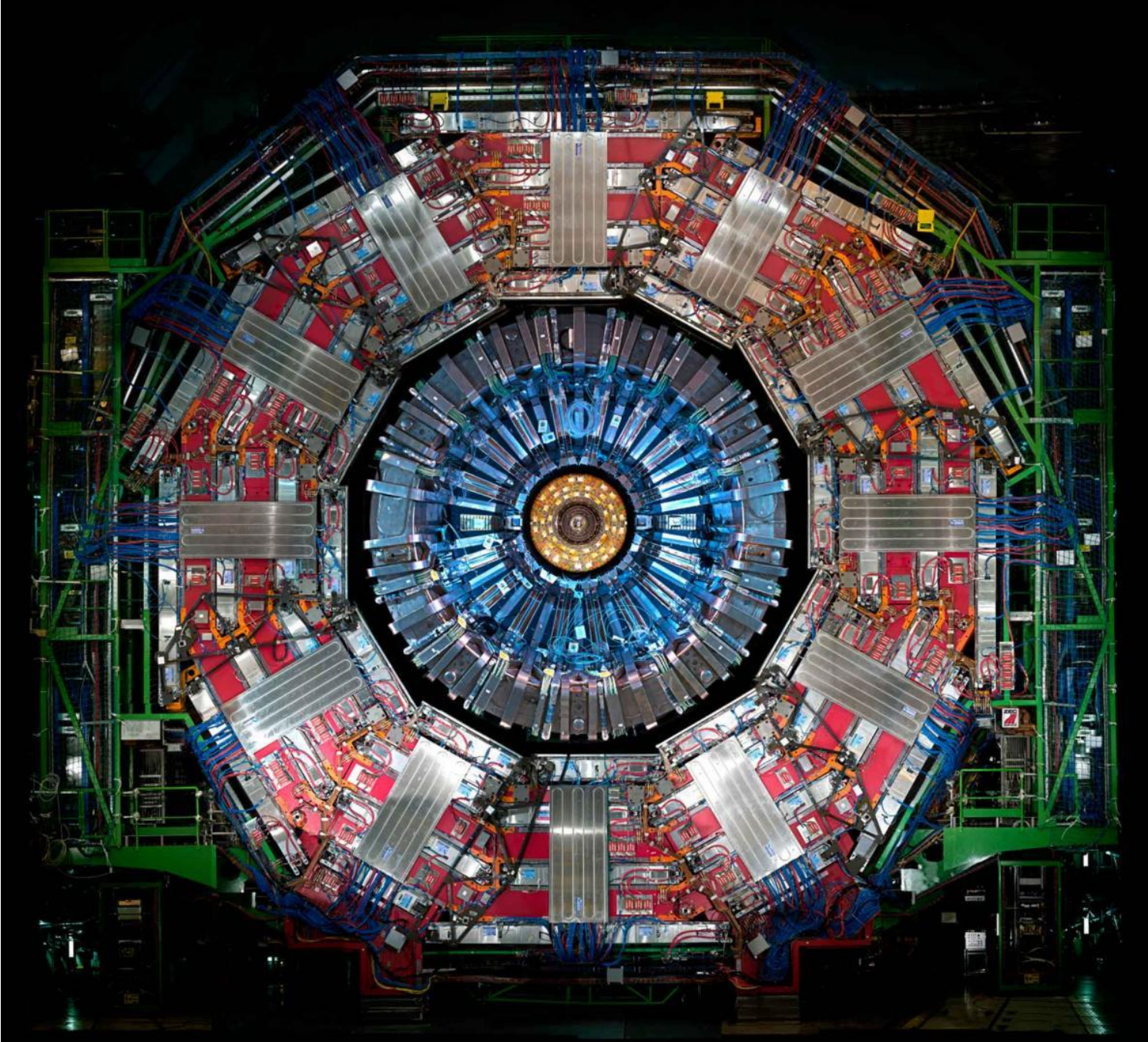
# Регистриране на мюон

- Сигнали във вътрешния треков детектор и в мюонните камери;
- Почти не се наблюдават взаимодействия в калориметричната система;
- Имат електрически заряд и техните траектории се изкривяват в магнитното поле - измерване на импулс и определяне на заряд;
- Голяма проникваща способност, преминават през магнита и целия детектор;
- Раждат се в резултат от разпадането на по-тежки частици и носят информация за случването на интересни събития – примерно раждане и разпад на Хигс бозон.

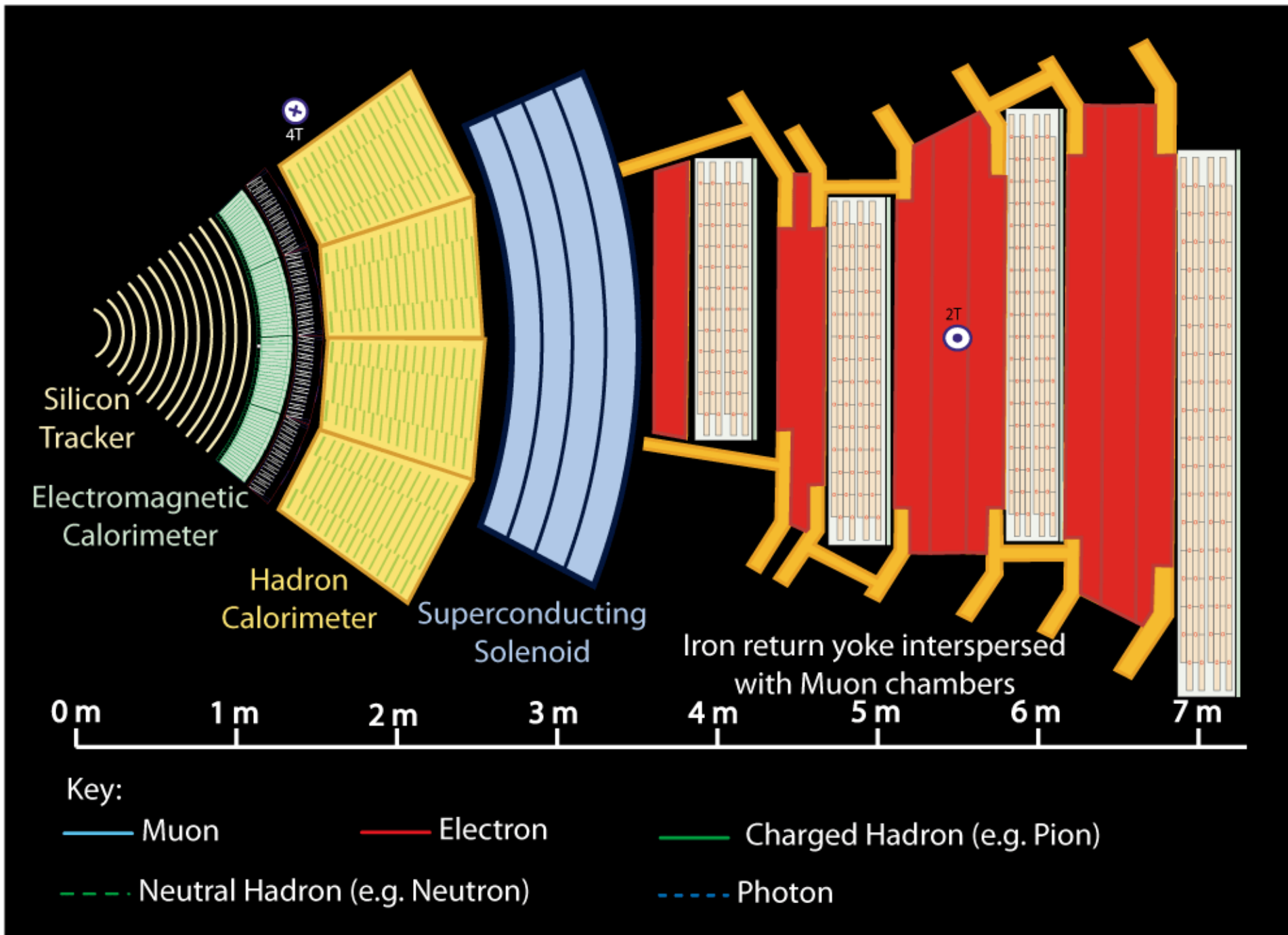


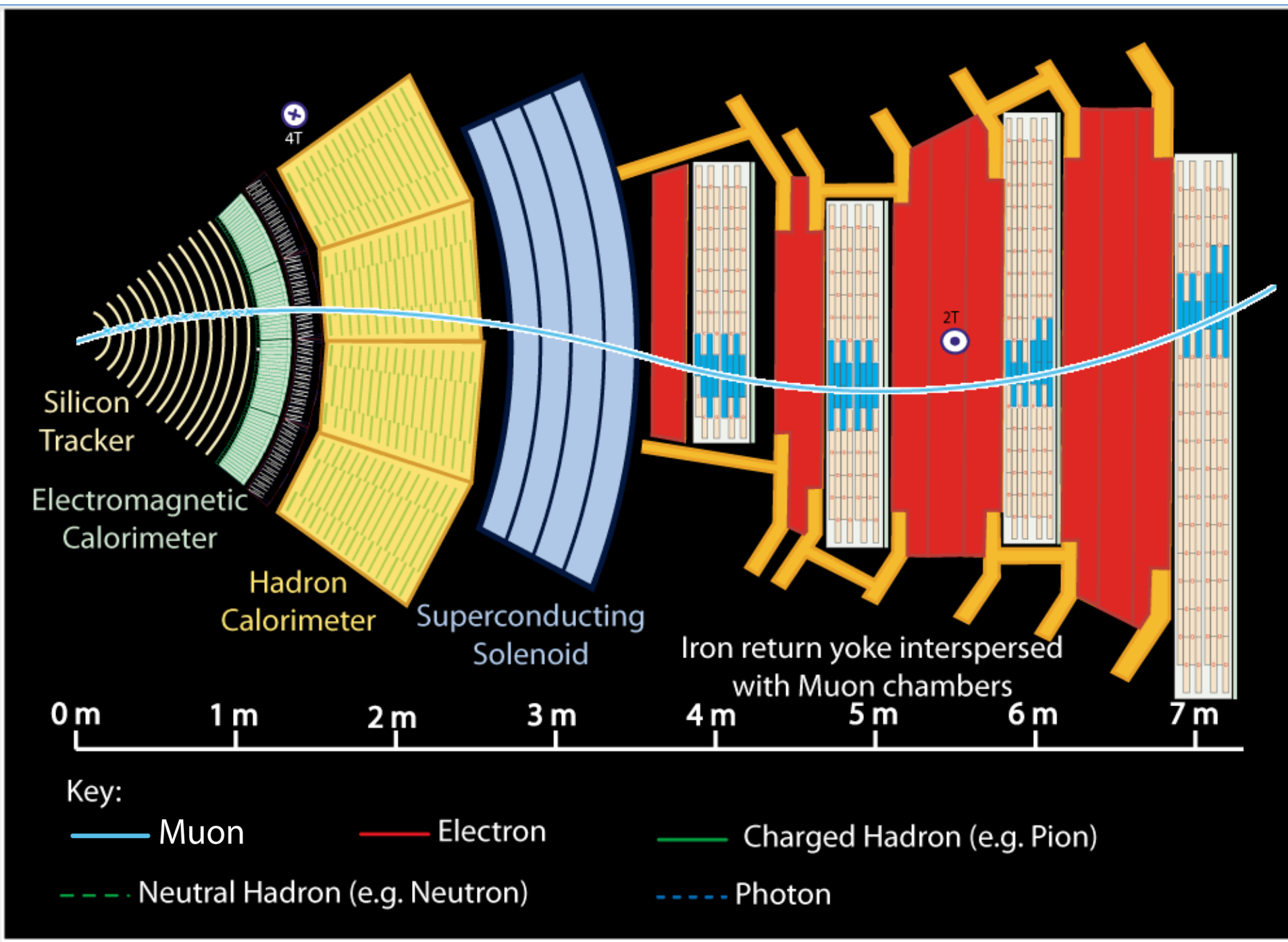


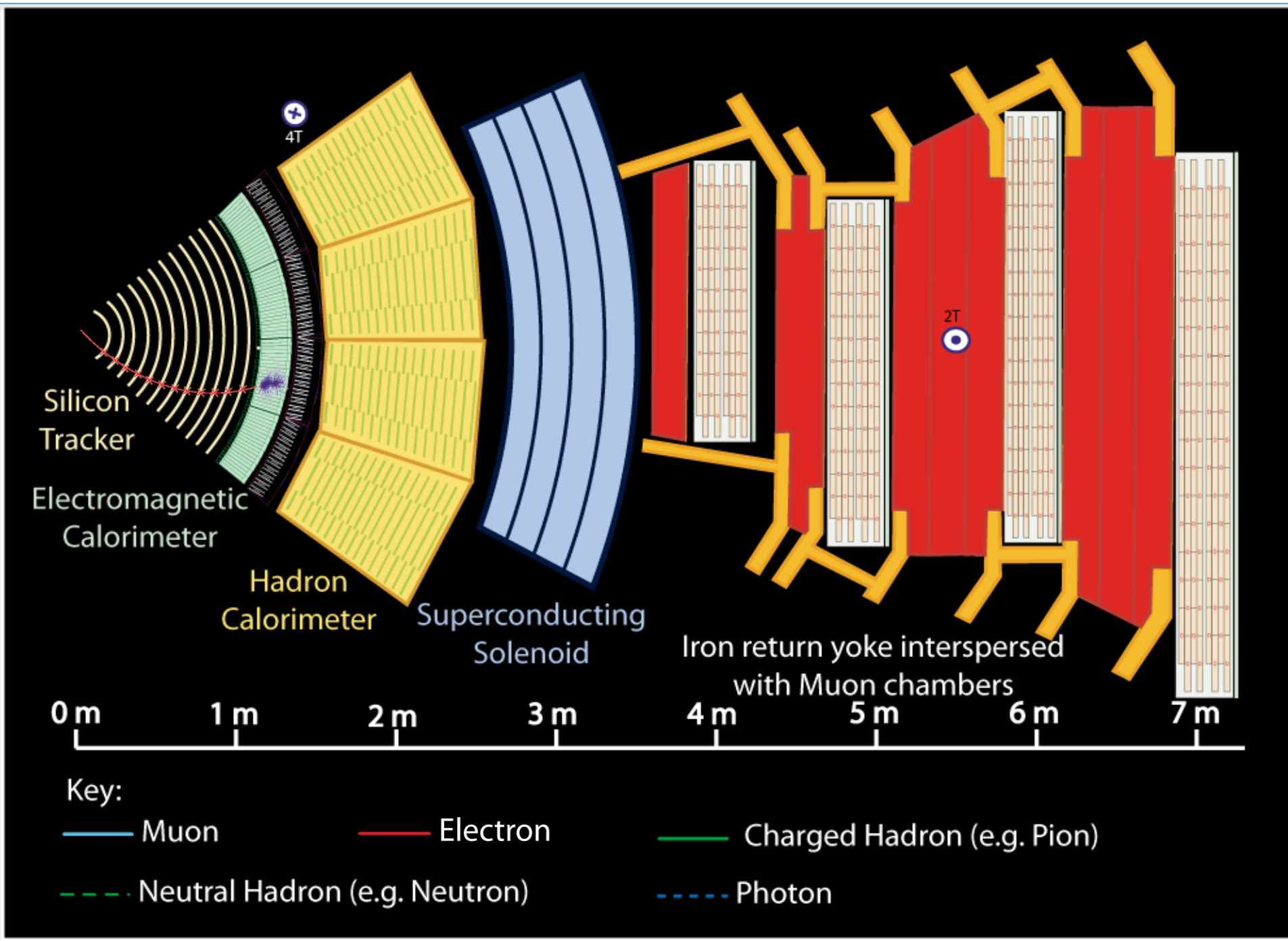
<https://cms.cern/detector/detecting-muons>

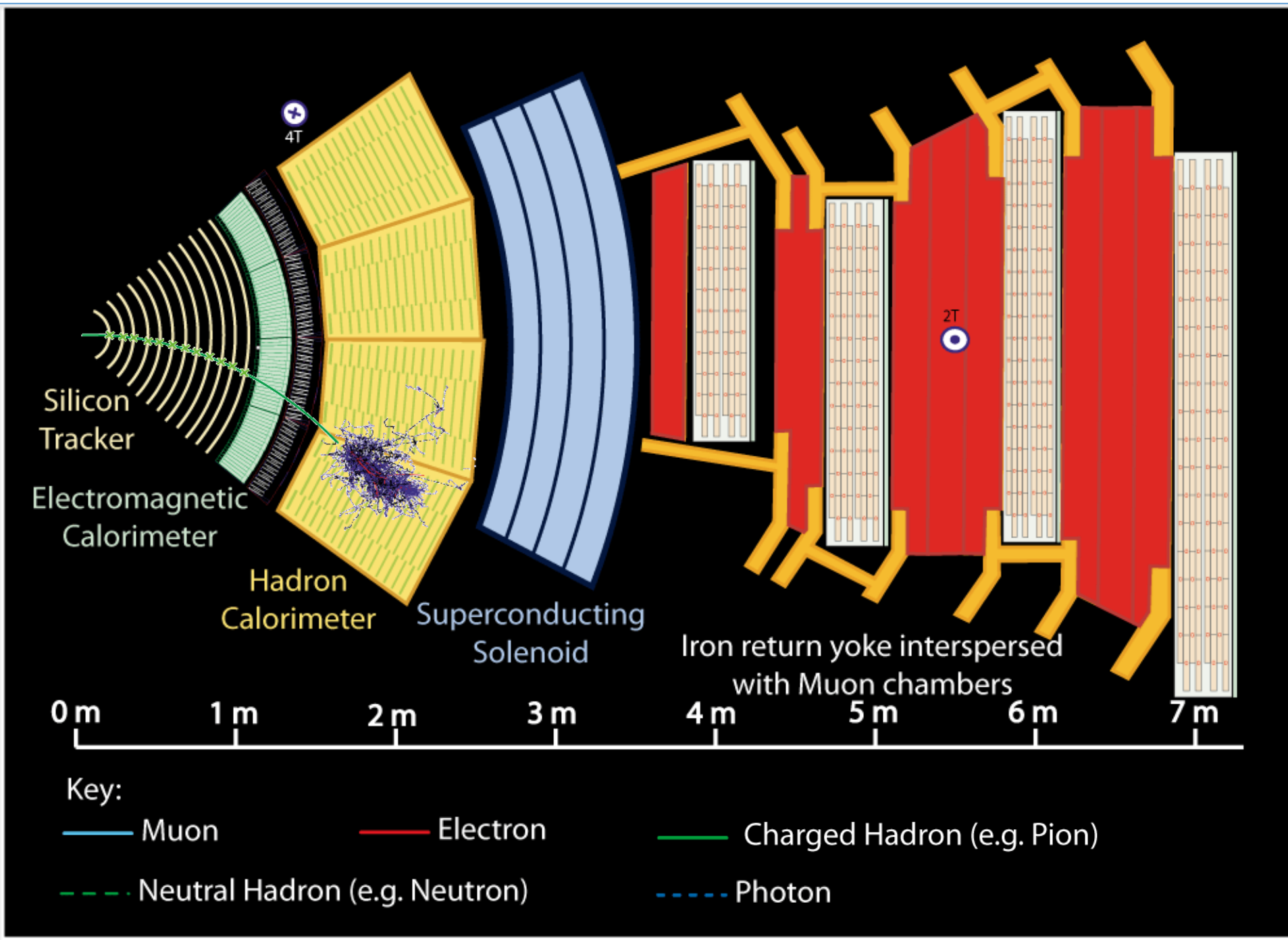


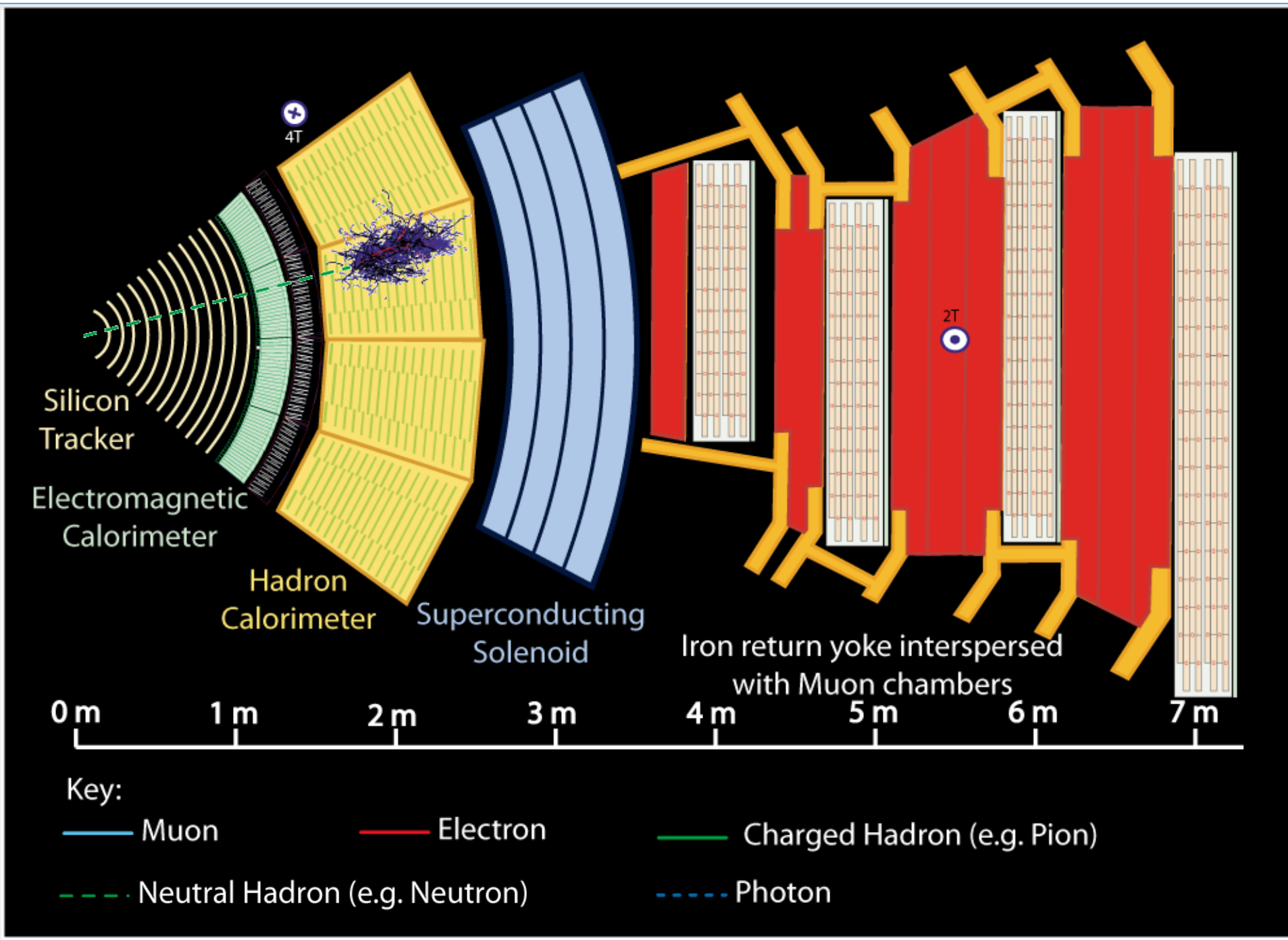
## **Как се регистрират частици със CMS**

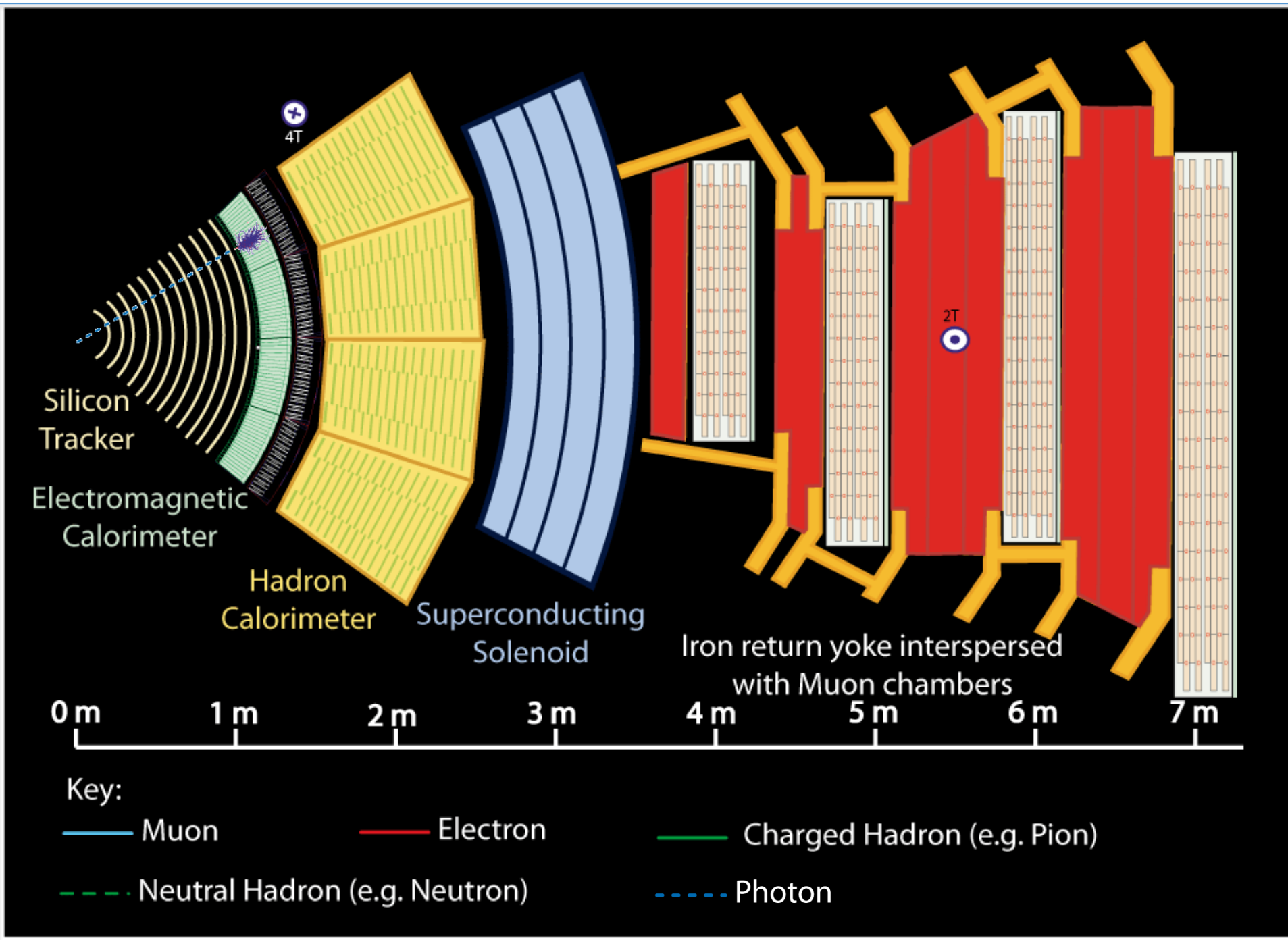




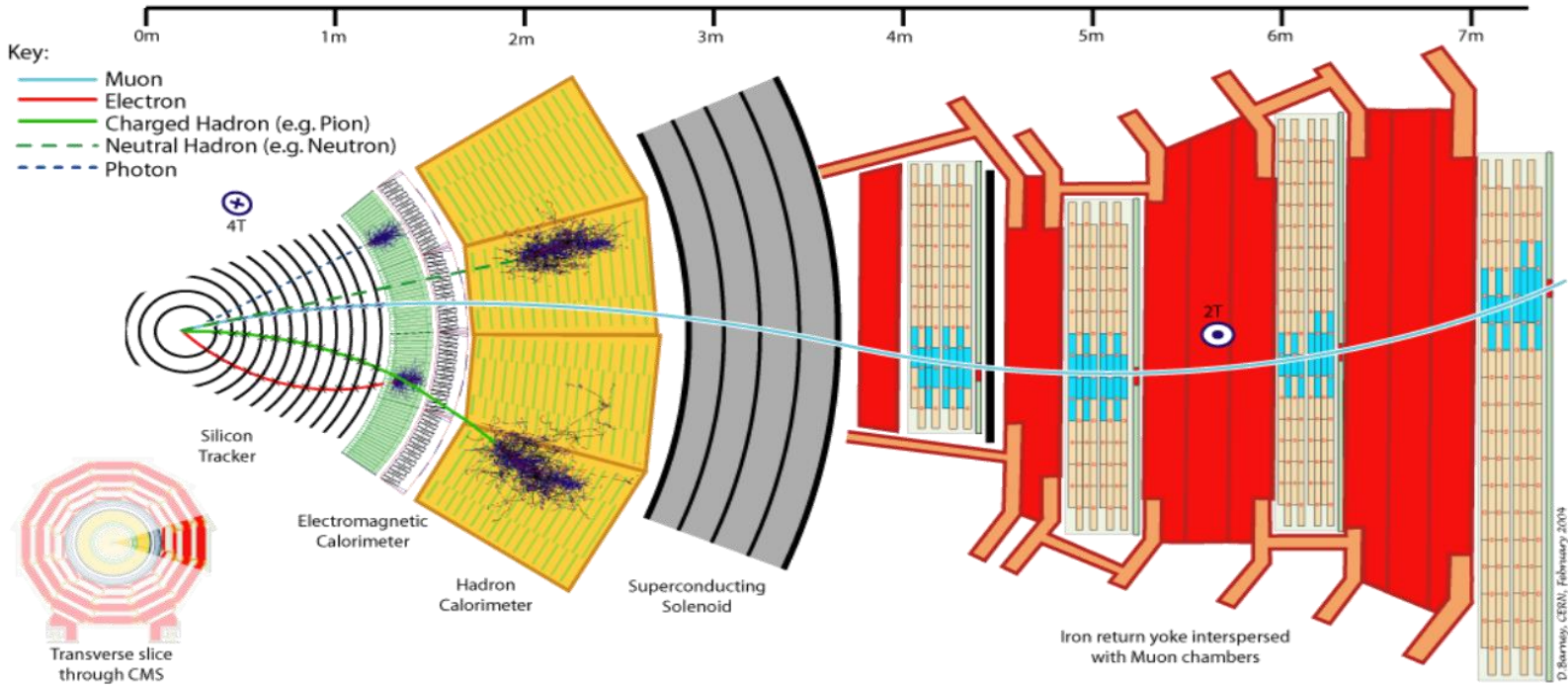








# Как се регистрира частица със CMS



- Мюонна система:
  - Регистрира електрически заредени частици, преминали през всички останали системи и магнита.
  - Ние предполагаме, че такива могат да бъдат само мюоните.

- Силициев детектор:
  - Регистрира попадения на електрически заредени частици.
- Електромагнитен калориметър:
  - Регистрира електрони, позитрони и фотони
  - Те отлагат пълната си енергия в него
- Адронен калориметър
  - Регистрира адрони, които отлагат пълната си енергия в него

Комбинираме информацията от отделните детекторни системи!

# Липсваща енергия

- Частици, които не могат да бъдат регистрирани с нашия детектор
  - Неутрино - трябва ни много по-голям детектор
  - Частици, които не познаваме
- Но ние може да направим оценка какво количество енергия или импулс са отнесли тези частици!

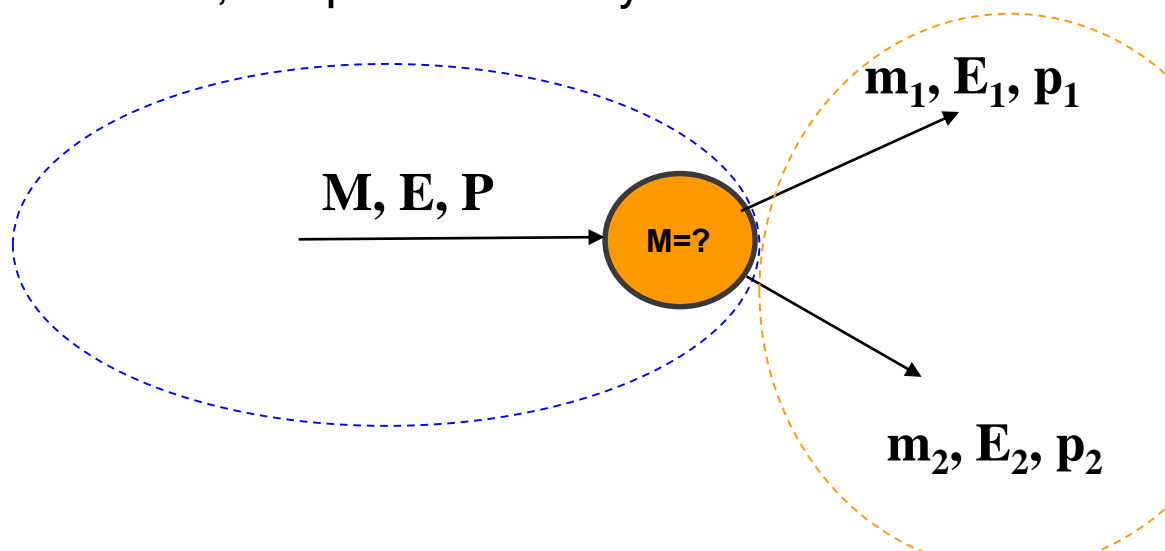
Величината, който ще използваме в нашия анализ се нарича **Missing Energy** и съдържа в себе си сумата от енергиите, отнесени от всички частици, които не сме успели да регистрираме и измерим. А също и информация за посоката, в която е отнесена тази енергия.

- Забележете, липсващата енергия може да е отнесена от повече от една частица!

# Разпадане на частица → идентифициране

Начално състояние (НЕИЗВЕСТНО):

Частица с маса  $M$ , енергия  $E$  и импулс  $P$



Крайно състояние (ИЗВЕСТНО):

Частицата се е разпаднала на две други частици в маси, енергии и импулси, съответно  $m_i, E_i, p_i$ , които са се разлетели една спрямо друга на ъгъл  $\alpha$

Използваме закона за запазване на енергията и импулса.

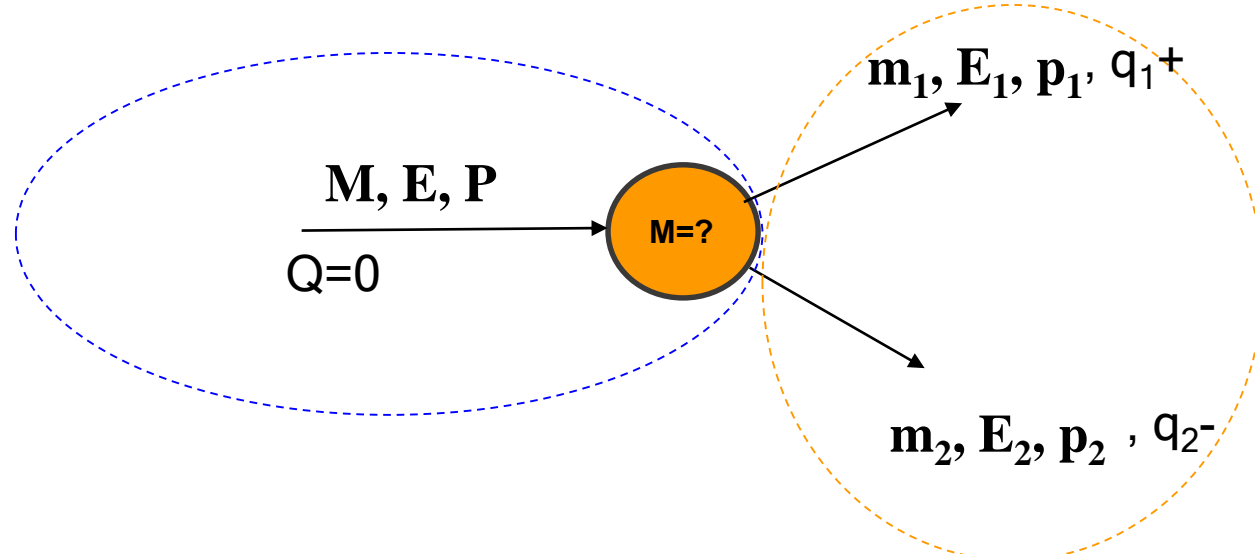
$$M^2 = m_1^2 + m_2^2 + 2(E_1 \cdot E_2 - p_1 \cdot p_2 \cos \alpha)$$

Маса на частицата-майка

# Закон за запазване на електрическия заряд

Начално състояние:

Примерно: Частица със заряд  $Q = 0$ .



Крайно състояние:

Сборът на електрическите заряди на дъщерните продукти в крайното състояние, трябва да бъде колкото е зарядът в началното състояние.

В конкретния пример трябва да имаме две частици едната с положителен, а другата с отрицателен електрически заряд.

## **Теоретична част на практическата задача**

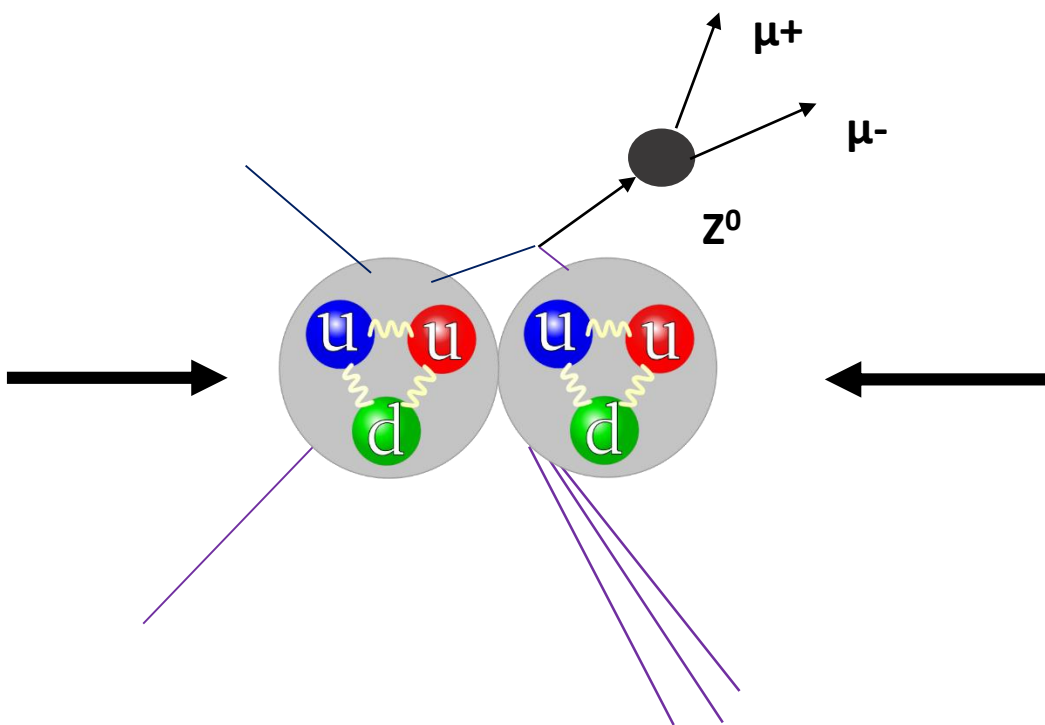
## Цели на практическата част:

- Да се разбере научния процес на анализ на експериментални данни
- Да се направи анализ на реални измервания
- Да се разбере какво се наблюдава (значението на анализираното събитие)
- Да се разбере къде се вписват тези измервания и каква е ролята им за разбиране на познатата ни Вселена

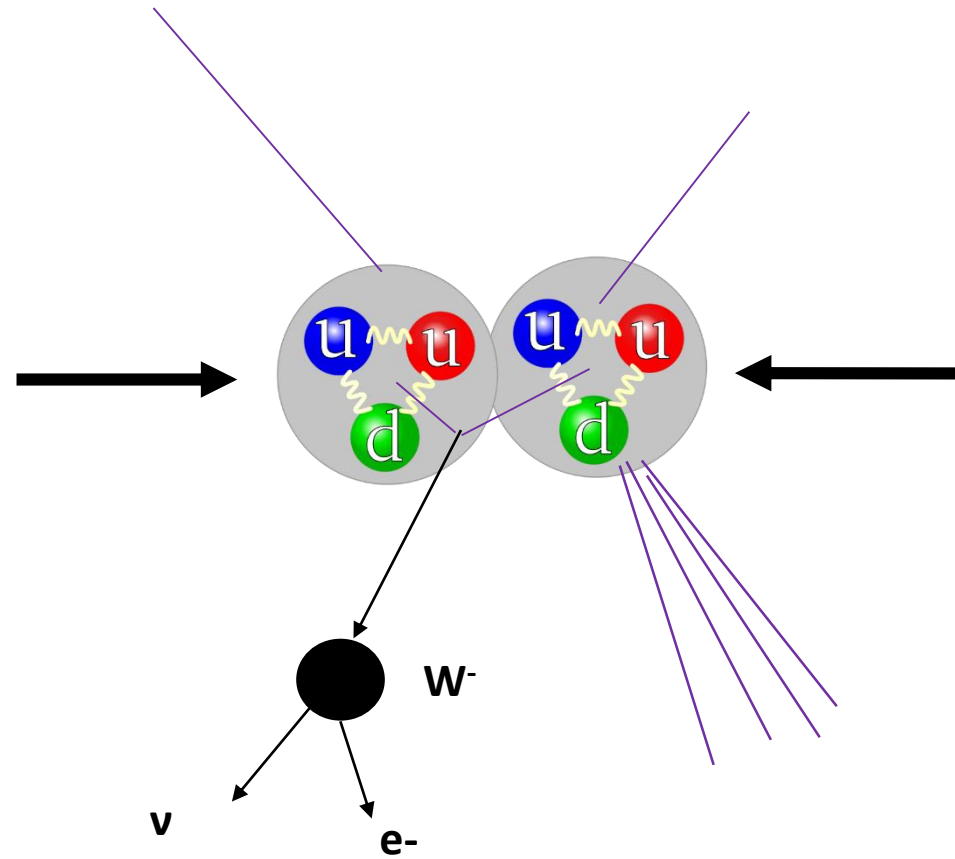
За разлика от електромагнитните сили, които са пренасяни на големи разстояния от безмасовите фотони, **слабите взаимодействия** се пренасят от тежки (масивни) частици, което ги ограничава до много малки разстояния.

Ние търсим **медиаторите на слабите взаимодействия**:

електрически заредените  $W^\pm$  бозони & неутралният  $Z$  бозон.



Сблъсъци с достатъчно голяма енергия могат да създадат  $W$  и  $Z$  или други частици.

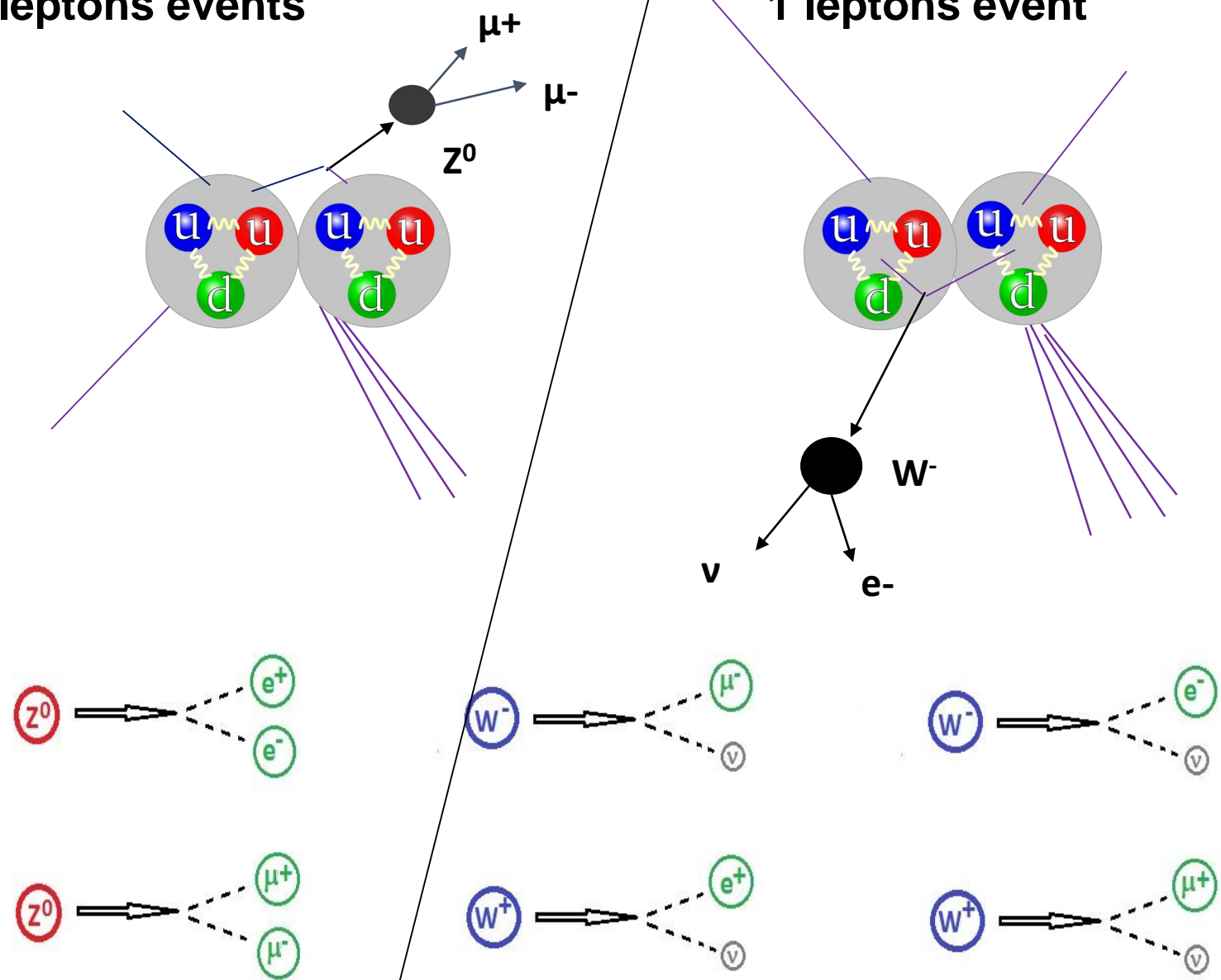


**Ще се ограничим само с няколко вида разпада!**

Ще анализираме само събития с един, два или четири лептона  
в крайното състояние.

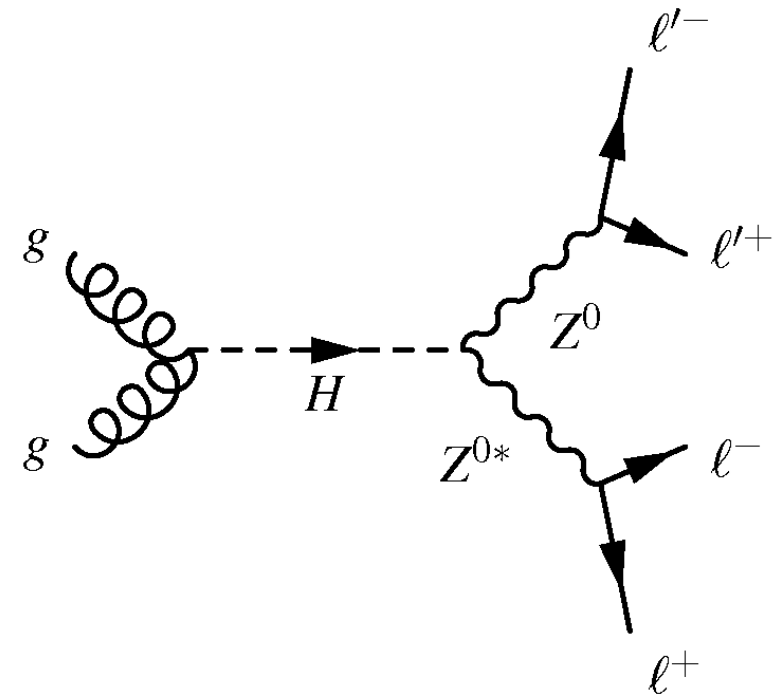
Ще се ограничим върху събитията с мюони и електрони.

## 2 leptons events



## 1 leptons event

## 4 leptons events

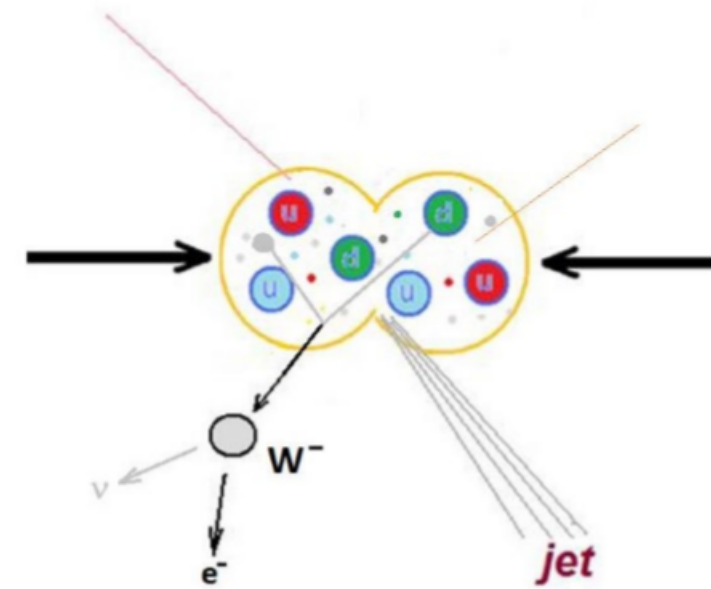


?  $H \rightarrow Z$   $Z \rightarrow \mu^+ \mu^- \mu^+ \mu^-$   
or  
?  $H \rightarrow Z$   $Z \rightarrow (e^+ e^- e^+ e^-)$   
or  
?  $H \rightarrow Z$   $Z \rightarrow (\mu^+ \mu^- e^+ e^-)$

# Събития с 1 лептон в крайното състояние

Положително и отрицателно зареденият W бозон позволява радиоактивно разпадане чрез превръщане на неutronи в протони.

Този бозон се разпада на неутрино и друг лептон. Тъй като CMS не може да измери директно неутриното, може да приемем, че в крайното състояние има само 1 лептон.

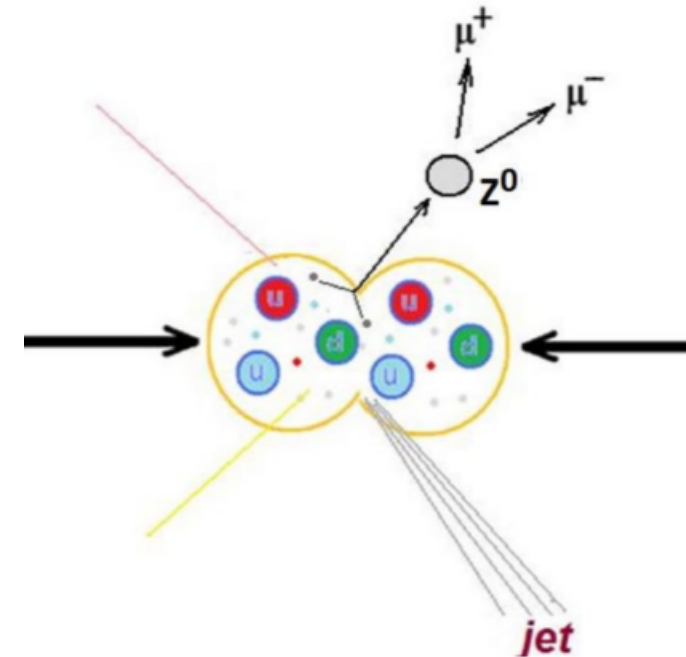


# Събития с 2 лептона в крайното състояние

Z бозона е неутралния братовчед на W.

Той позволява „слабият неутрален поток“.

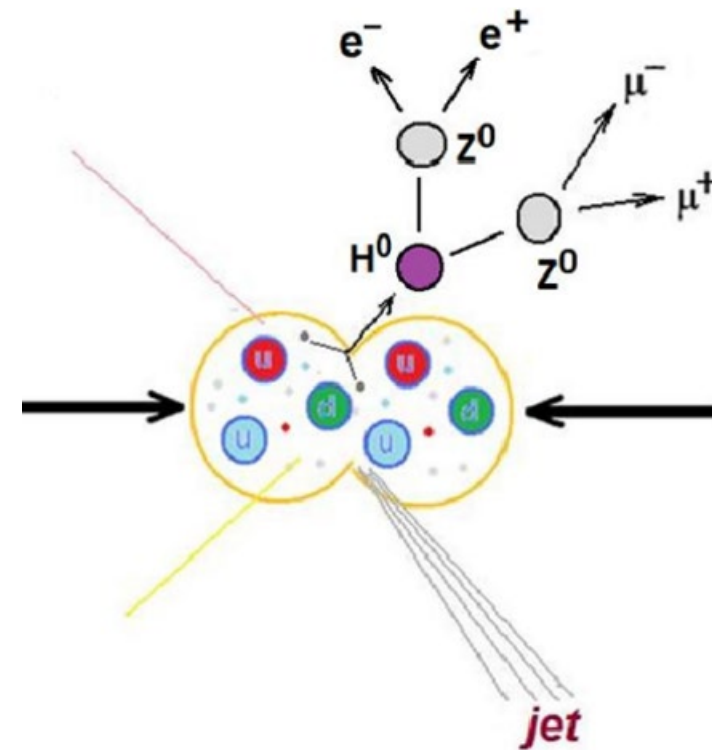
Този бозон се разпада на два лептона от един и същи вид, но с различни заряди – електрон и позитрон или мюон и анти-мюон. Той има и други процеси, по които се разпада, но в това упражнения разглеждаме само тези начини за неговото разпадане.



# Събития с 4 лептона в крайното състояние

Хигс бозона е частицата преносител на полето, което задава масата на всички останали частици.

Един от начините за разпад на Хигс е на два Z бозона, които след това се разпадат по вече разгледаните начини. Така в крайното състояние, което наблюдаваме може да получим 2 мюона и 2 електрона или 4 мюона или 4 електрона.



# Обобщение

Тъй като бозоните могат да изминат изключително малко разстояние преди да се разпаднат, CMS не може да ги „види“ директно.

CMS може да разпознае:

- Електрони
- Мюони
- Фотони



CMS може да определи:

- Неутроните по „липсваща енергия“

# Разпади на елементарни частици, разгледани в този урок

$$W^+ \rightarrow \mu^+ \nu$$

$$W^+ \rightarrow e^+ \nu$$

$$W^- \rightarrow \mu^- \nu$$

$$W^- \rightarrow e^- \nu$$

$$X^0 \rightarrow \mu^+ \mu^- \quad (\text{или } X^0 \rightarrow 2\mu)$$

$$X^0 \rightarrow e^+ e^- \quad (\text{или } X^0 \rightarrow 2e)$$

$$X^0 \rightarrow \mu^+ \mu^- \mu^+ \mu^- \quad (\text{или } X^0 \rightarrow 4\mu)$$

$$X^0 \rightarrow e^+ e^- e^+ e^- \quad (\text{или } X^0 \rightarrow 4e)$$

$$X^0 \rightarrow \mu^+ \mu^- e^+ e^- \quad (\text{или } X^0 \rightarrow 2\mu 2e)$$

$$\text{?} \rightarrow \text{Zoo}$$

Събития с 1 лептон в крайното състояние

$X^0$  - електрически неутрална частица  
Може да бъде Хигс бозон или Z бозон  
или друга частица

Събития с 2 лептона в крайното състояние

Събития с 4 лептона в крайното състояние

Събития, които не асоциираме с нито една от горните схеми

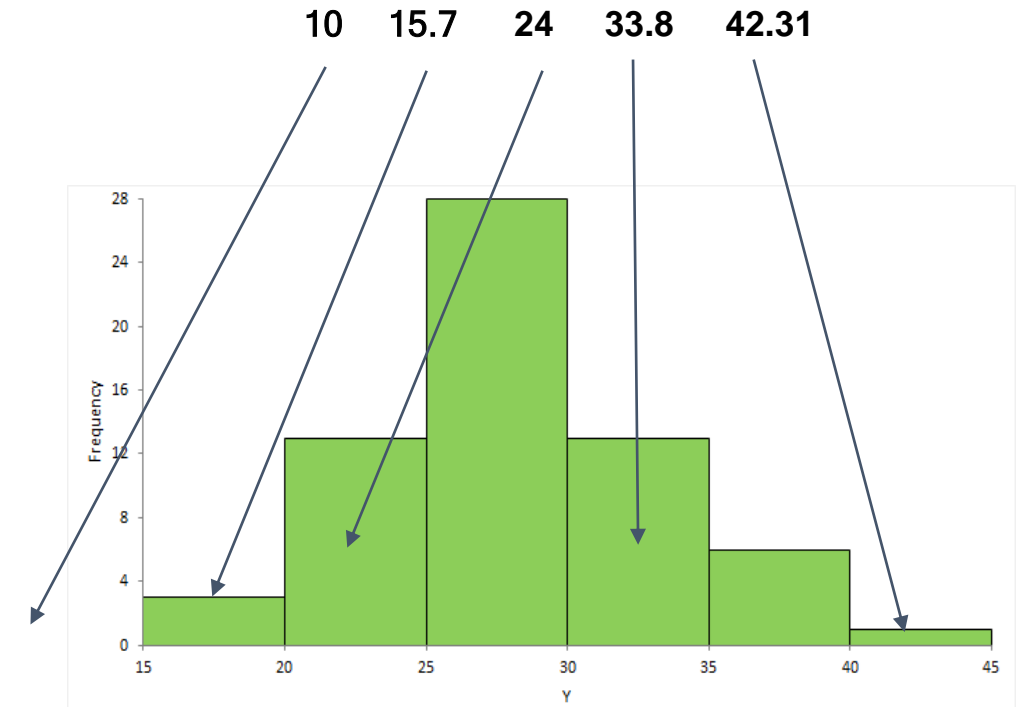
# Достатъчно ли е само едно измерване?

Едно събитие (event) не е достатъчно.

- То може да бъде случайно.
- Освен това различните частици се раждат с различна вероятност.
- Колкото по-рядко се ражда една частица, толкова по-голям брой събития е необходимо да анализираме за да я открием.

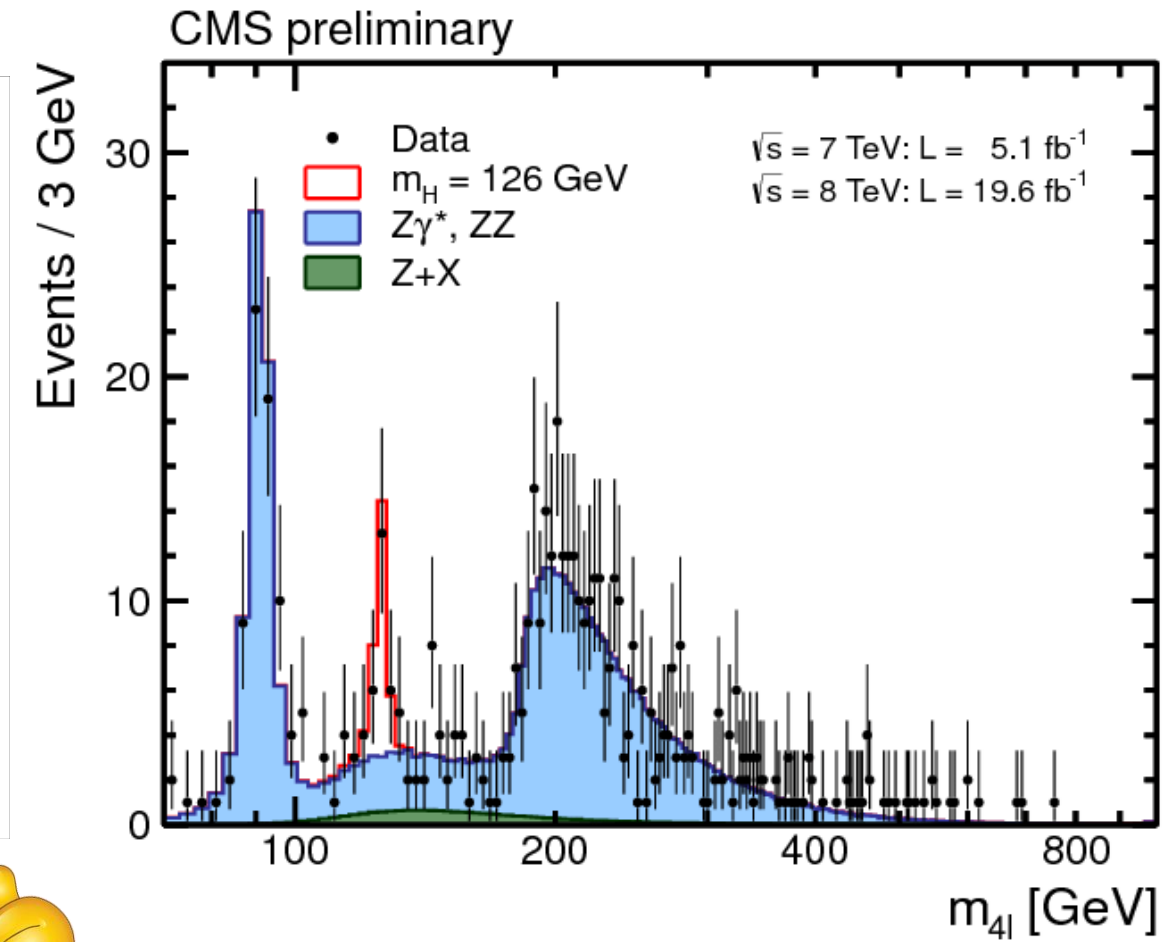
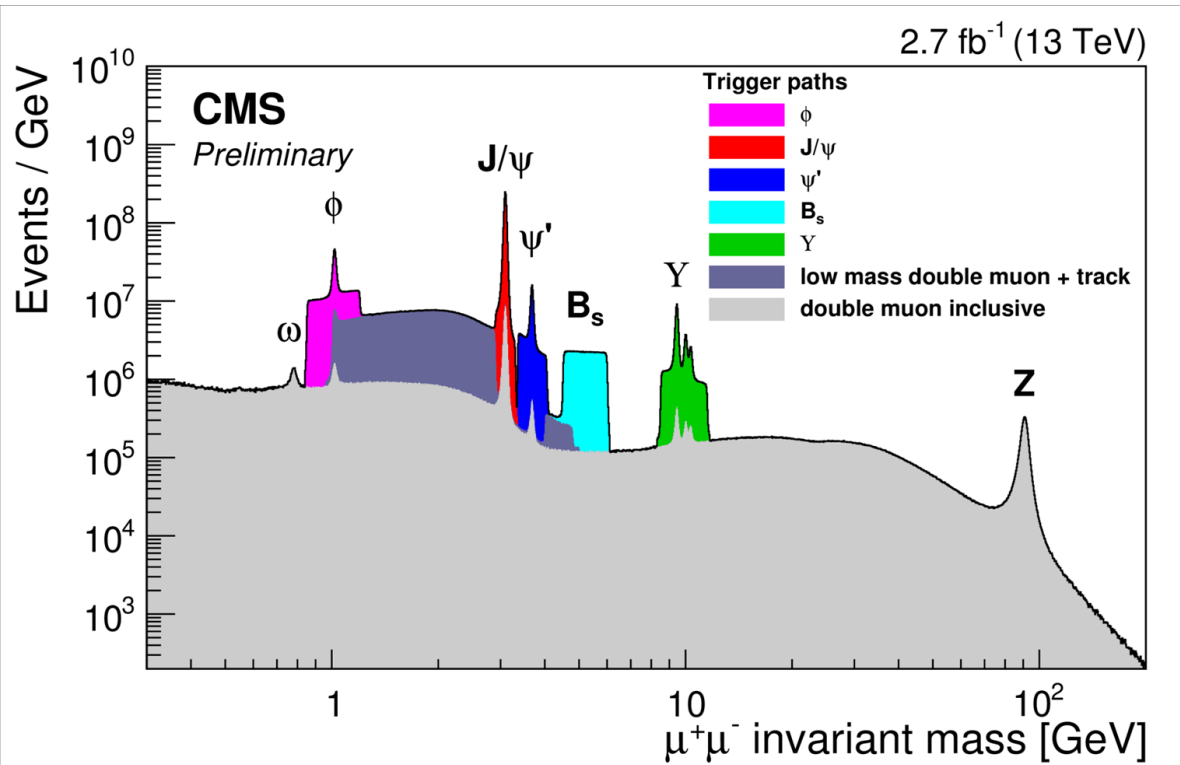
Хистограмата ни показва с каква честота (колко често) се случва дадено събитие.

- В нашия случай - как са разпределени масите на частиците, които сме определили.
- Наличието на пик в хистограмата е указание за частица с маса, равна на стойността, при която имаме пик.



## Хистограма

# Пример за разпределение по инвариантна маса на дву- и четири лептонни събития с данни на CMS

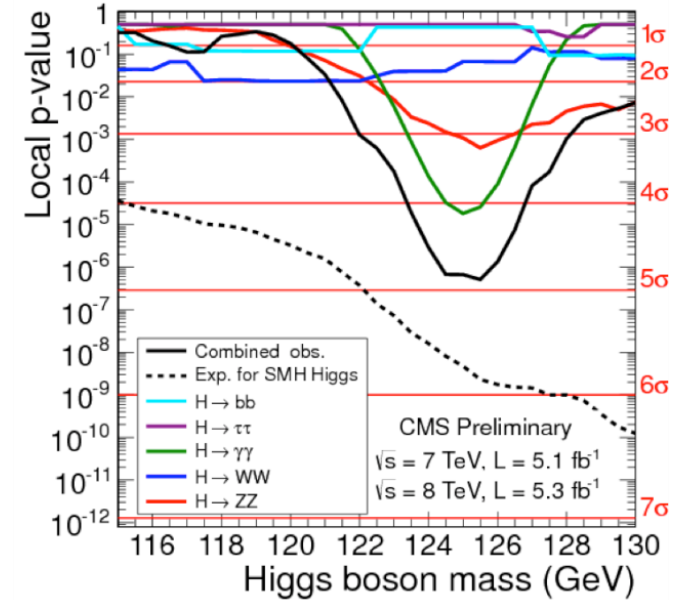
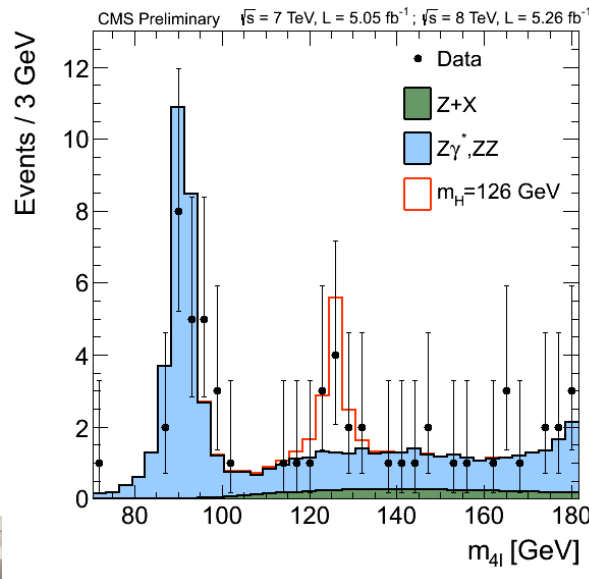
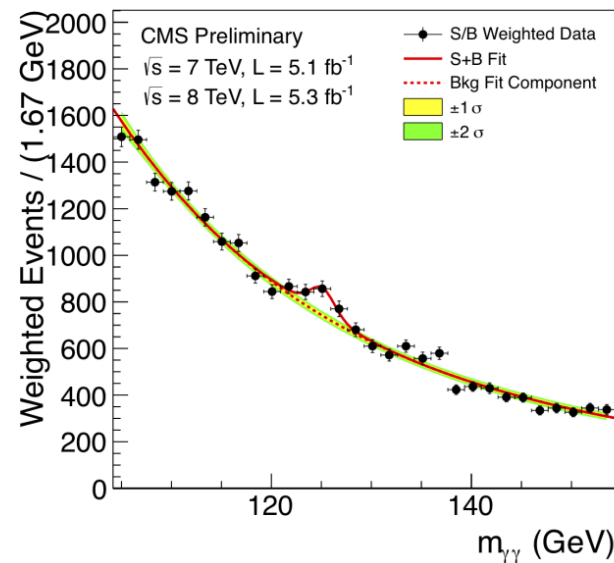


Да видим какво ще получите вие.



# Higgs Boson Discovery – 2012

## CMS & ATLAS



Credit: Weforum.org

## **Практическа част**

# Данни - Кои са моите данни за анализ и къде да ги намеря

https://www.i2u2.org/elab/cms/cima-wzh/

**CIMA**  
CMS Instrument for Masterclass Analysis

**Основно приложение:**  
**CIMA** - [link](https://www.i2u2.org/elab/cms/cima-wzh/)

RWTH AACHEN UNIVERSITY

UNIVERSITY OF NOTRE DAME

CERN

QuarkNet

Choose your Masterclass

- TestEvents-01Jan2022
- Santander-13May2024
- CERN-27Nov2023
- Salo-07Dec2023
- Sofia-13Dec2023
- CERN-LAMAP-08Dec2023
- MP-15Jan2024
- Cakovec-24Jan2024
- Bristol-27Mar2024
- CERN-09Feb2024
- Sandbox-31Dec2023
- CERN-20Feb2024
- CERN-26Feb2024
- CERN-29Feb2024
- CERN-22Feb2024
- CERN-01Mar2024
- CERN-04Mar2024
- CERN-06Mar2024**
- CERN-08Mar2024
- CERN-11Mar2024
- CERN-13Mar2024
- CERN-19Mar2024
- CERN-22Mar2024
- CERN-27Mar2024
- FNAL-01Mar2024
- FNAL-08Mar2024
- FNAL-09Mar2024
- FNAL-13Mar2024
- FNAL-14Mar2024
- FNAL-15Mar2024

Choose your location

- Constantine2024-B
- Pisa2024
- BudapestELTE2024
- SofiaBAS2024**
- SofiaTexPark2024

Choose your data file

- 100.41
- 100.42
- 100.43
- 100.44
- 100.45
- 100.46
- 100.47
- 100.48
- 100.49
- 100.51
- 100.52
- 100.53
- 100.54
- 100.55**
- 100.56
- 100.57
- 100.58
- 100.59
- 100.61
- 100.62
- 100.63
- 100.64
- 100.65
- 100.66
- 100.67
- 5.3
- 5.4
- 5.5

**CERN-06Mar2024 - София**

CMS

NETZWERK  
TEILCHENWELT

INTERNATIONAL  
MASTERCLASSES  
hands on particle physics

IPG  
International Particle Physics Outreach Group

# Данни - Кои са моите данни за анализ и къде да ги намеря

Choose your data file

- 100.41
- 100.42
- 100.43
- 100.44
- 100.45
- 100.46
- 100.47
- 100.48
- 100.49
- 100.51
- 100.52
- 100.53
- 100.54
- 100.55**
- 100.56
- 100.57
- 100.58
- 100.59
- 100.61
- 100.62
- 100.63
- 100.64
- 100.65
- 100.66
- 100.67
- 5.3
- 5.4
- 5.5

КЛИК!

## Извадки с данни:

- Всяка извадка е номерирана с два числа, примерно **100.55**
- Всяка извадка съдържа 100 събития;
- Една извадка се използва от двама ученика, примерно:
  - Марин обработва събития от 1 до 50;
  - Габриела събития - събития от 51 до 100

## За всяко събитие учениците трябва:

1. Да определят дали разпада е електронен или мюонен, както и дали той отговаря на:
  - $W^+$  или  $W^-$  кандидат (може да се запише като "W" ако заряда не може да бъде определен);
  - NP ( $Z$  или друг кандидат за „неутрална частица“);
  - Кандидат за Хигс бозон;
  - $zoo$  събитие (необикновено или такова, което не може да се категоризира).
2. Да направят запис в таблицата на СИМА.

# Таблица за данни

За конкретната индивидуална извадка от данни, прим. 100.55

Общи хистограми на класа - маси на реконструираните частици

Общи резултати на класа (ключови отношения и обобщение)



Masterclass: CERN-06Mar2024

Location: SofiaBAS2024

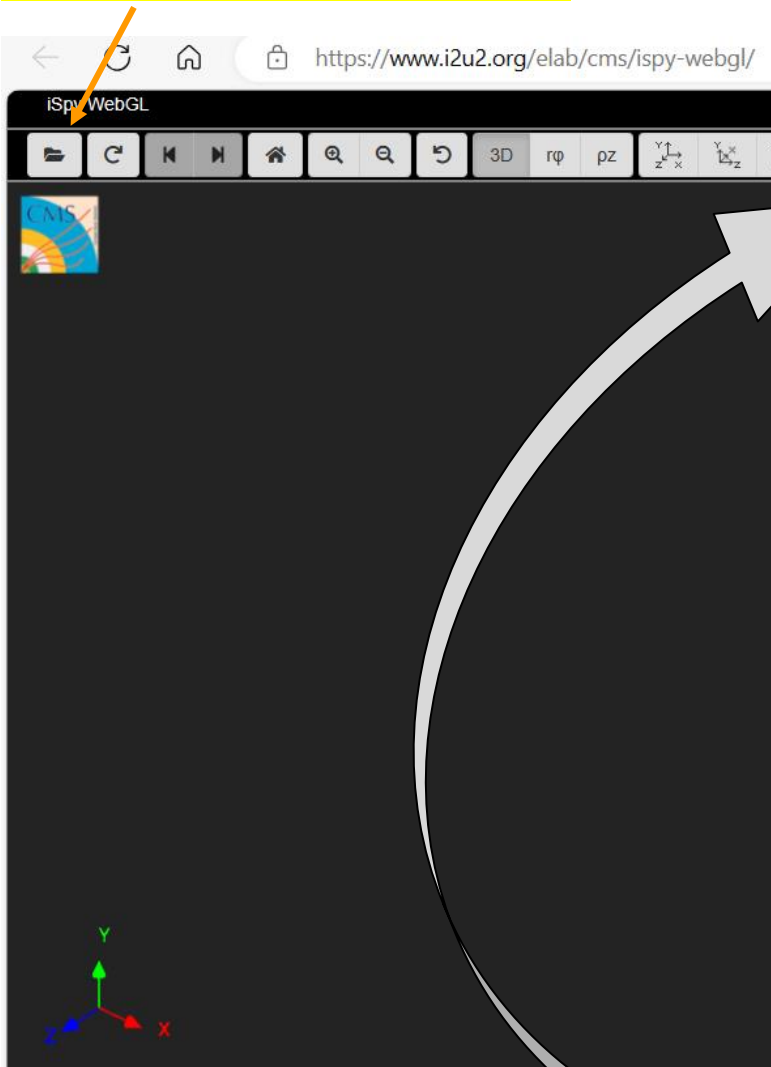
Group: 100.55

Линк към event display.

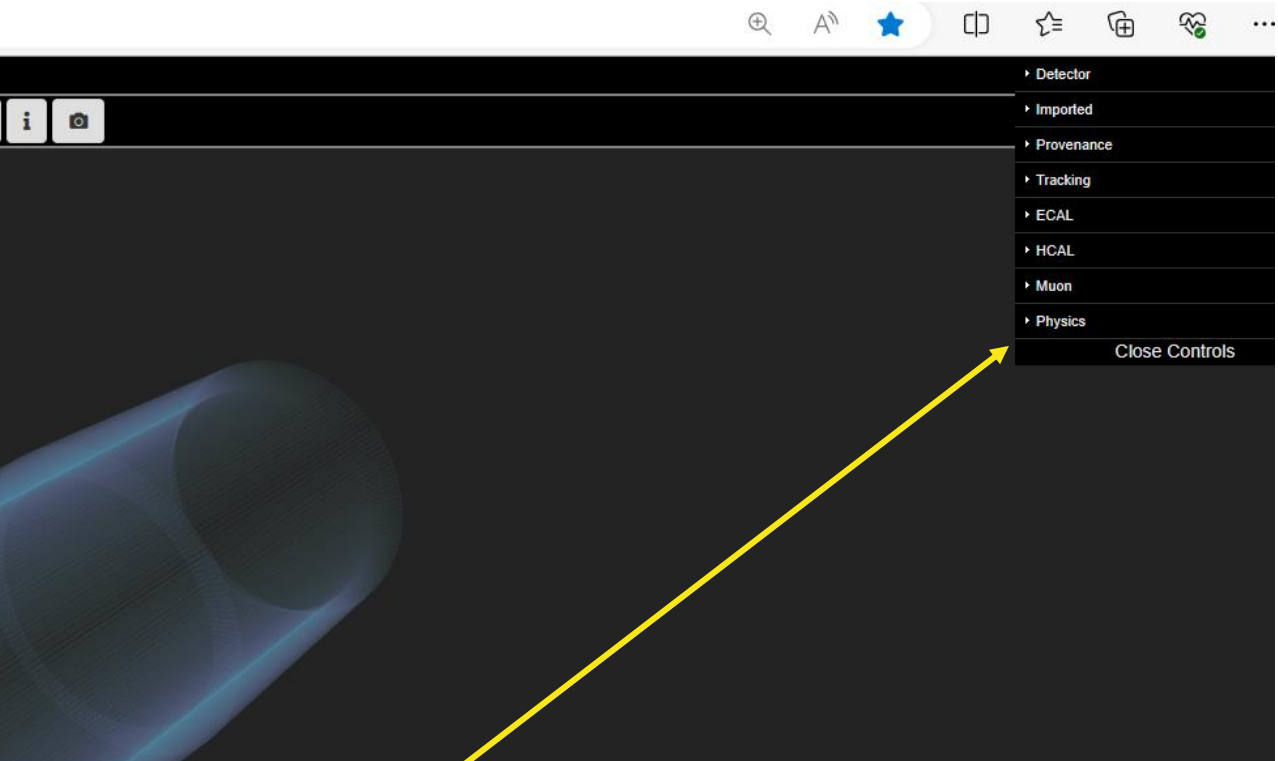
|  |  |  |   |
|--|--|--|---|
| <b>Select Event</b><br>Event index: <input type="text" value="1"/><br><br>Event number: 100.55-1 | <b>Final State</b><br><input type="radio"/> e v <input type="radio"/> $\mu$ v<br><input type="radio"/> e e <input type="radio"/> $\mu$ $\mu$<br><input type="radio"/> 4e <input type="radio"/> 4 $\mu$<br><input type="radio"/> 2e 2 $\mu$ | <b>Primary State</b><br>Charged Particle:<br><input type="radio"/> W+ <input type="radio"/> W- <input type="radio"/> W $\pm$<br><input type="radio"/> Neutral Particle (Z, H)<br><input type="radio"/> Zoo | <b>Enter Mass</b><br><input type="text"/> GeV/c <sup>2</sup><br><br><b>Next</b> |
|--|--|--|---|

| Event index | Event number | Final state | Primary state | Mass |
|-------------|--------------|-------------|---------------|------|
|             |              |             |               |      |

## Зареждане на данни



## Основно приложение - iSpyWebGI



iSpyWebGI - [link](#)

Онлайн приложение:

- Бутони за управление
- Геометрия и детекторни системи на CMS
- Реконструирани обекти
- Измерени физични величини

## Основно приложение - iSpyWebGI

### Реконструирани обекти и цветова конвенция

- **Мюонни (мюонни трекове)** - червени
- Електрони и позитрони (електронни трекове) - зелено
- **Липсваща енергия - лилаво (розово)**
- **Фотони** - зелено (без попадения в централния треков детектор)
- Адрони - жълти конуси

iSpyWebGI - [link](#)

### Електрически заряд

- “+”      Ако траекторията се закривява **по посока на часовниковата стрелка**  
“-”      Ако траекторията се закривява **обратно на посоката на часовниковата стрелка**

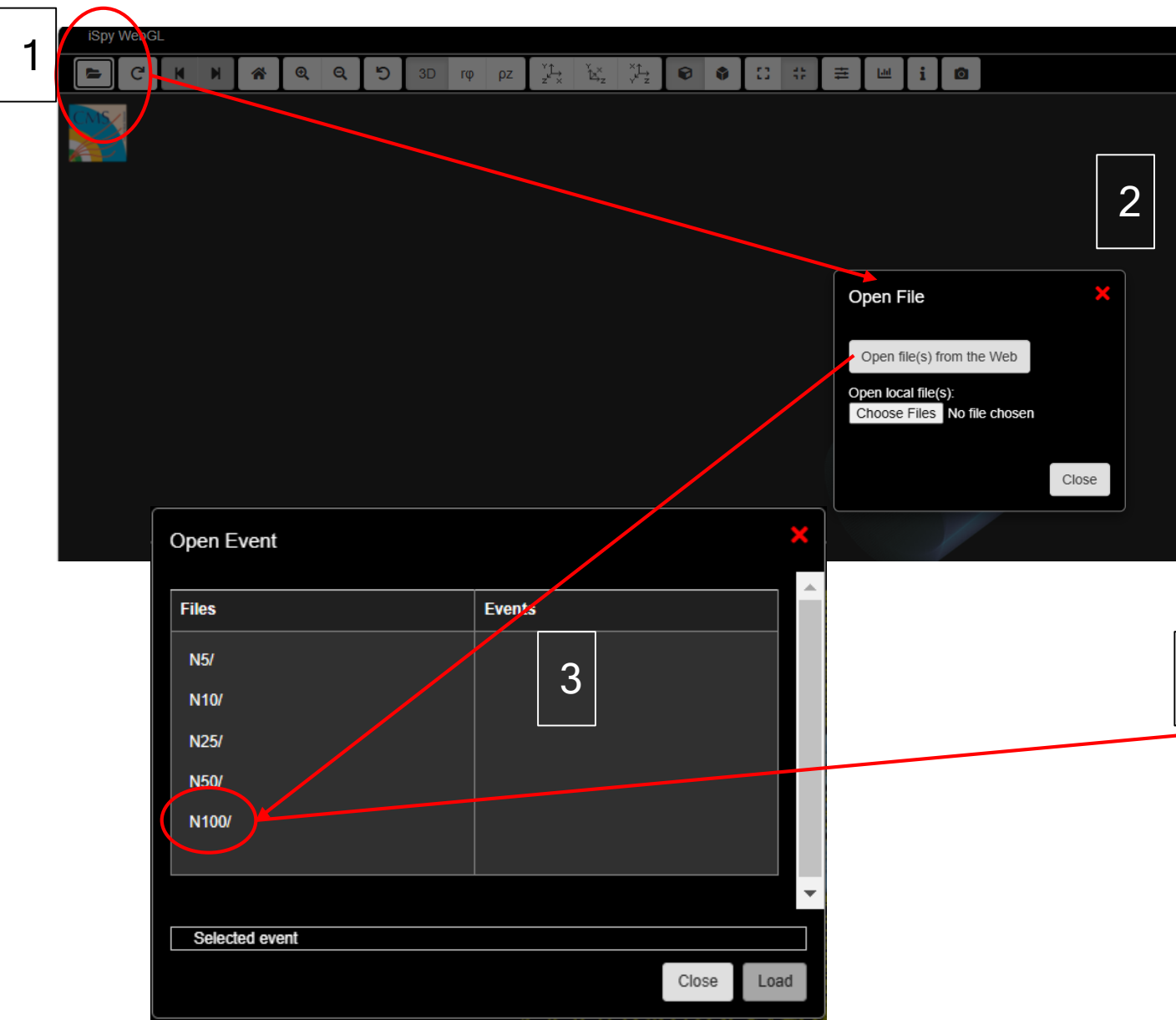
Липсваща енергия (в крайното състояние) - **Missing energy transverse (MET)**

Определя се от закона за запазване на енергията и импулса.

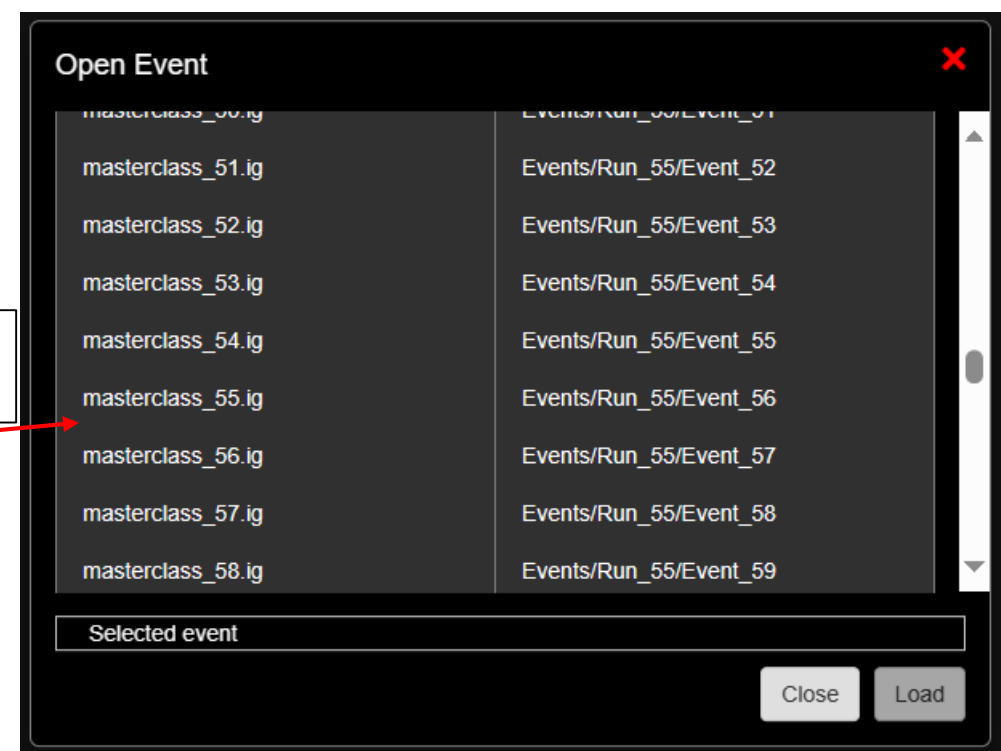
Изглед в различни равнини, 3D изглед

Таблица с измерените физични величини - енергия, импулс, ъгли.

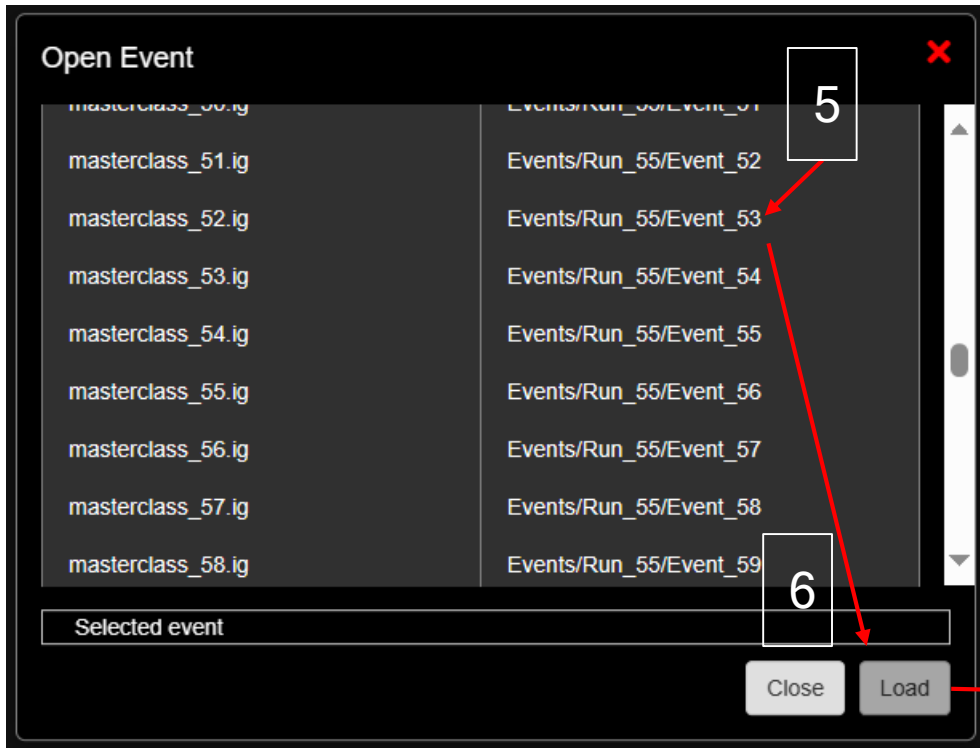
# Зареждане на данни в iSpyWebGI - пример с извадка 100.55



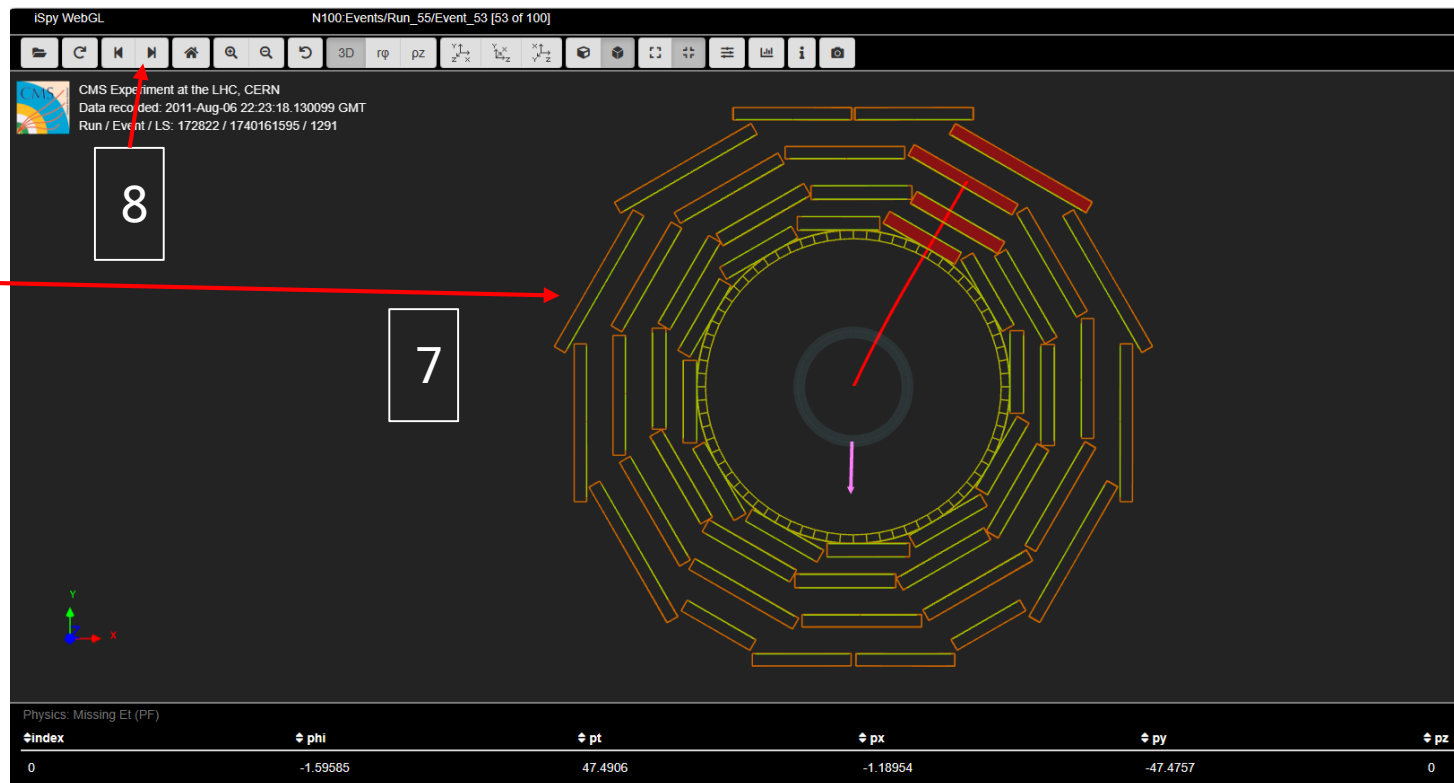
1. Зареждане на данни
2. Избираме данни от Web
3. Избираме извадка 100
4. Избираме данни с номер 55



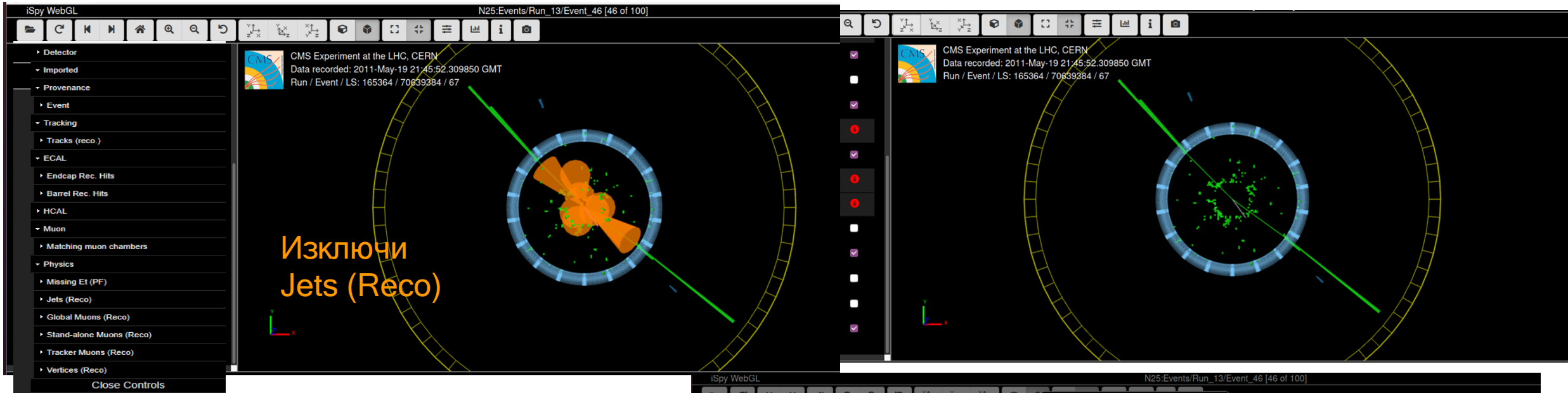
# Зареждане на данни в iSpyWebGl - пример с извадка 100.55



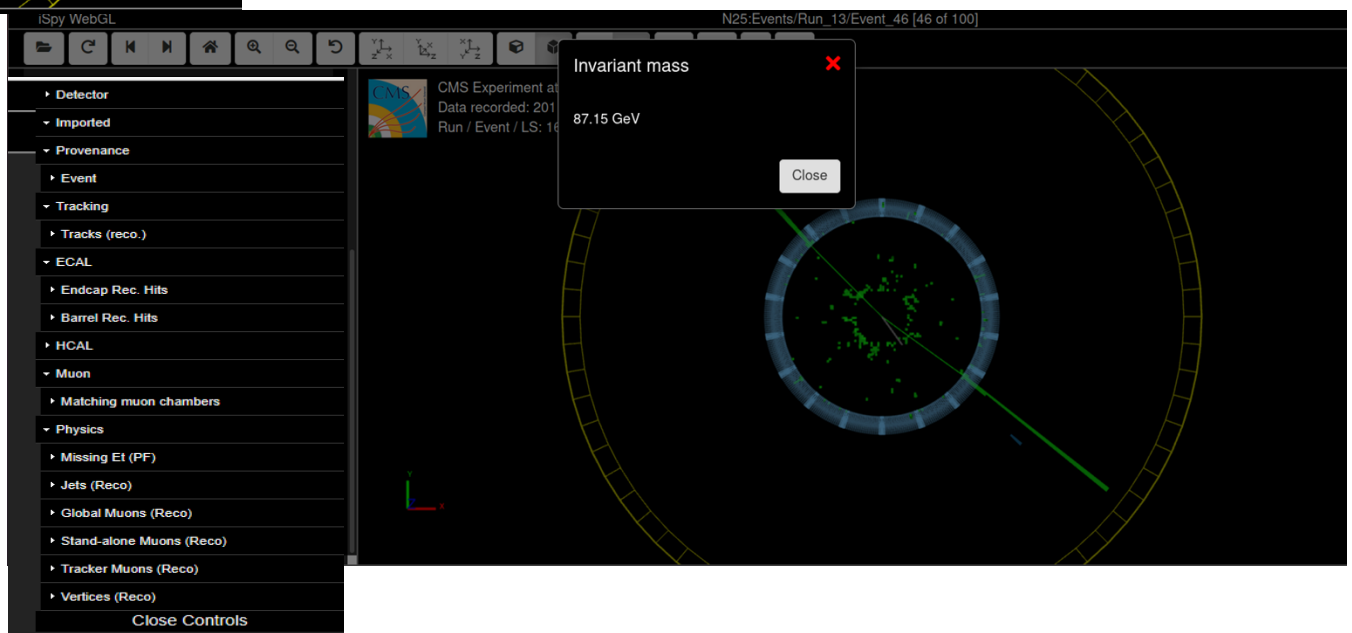
5. Избираме събитие № 1 (или № 50 за втората половина от данните);
6. Зареждаме;
7. Визуализиране на събитие;
8. За зареждане на следващото събитие използвайте бутоните на приложението



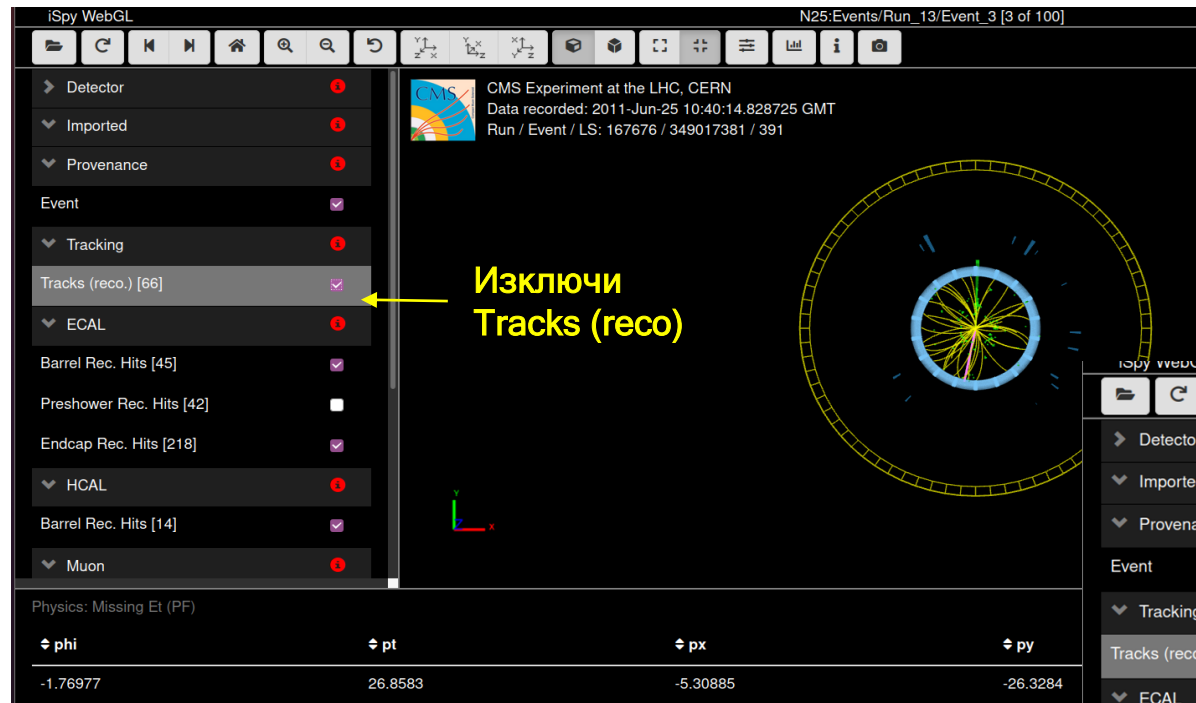
# “Изчистване” на събитието - разглеждаме само необходимото



- Оранжеви конуси - Адронна активност в калориметричната система;
- Не се разглежда в това упражнение;
- След като се изключат от анализа, се вижда събитие кандидат за разпад на  $Z \rightarrow \mu\mu$



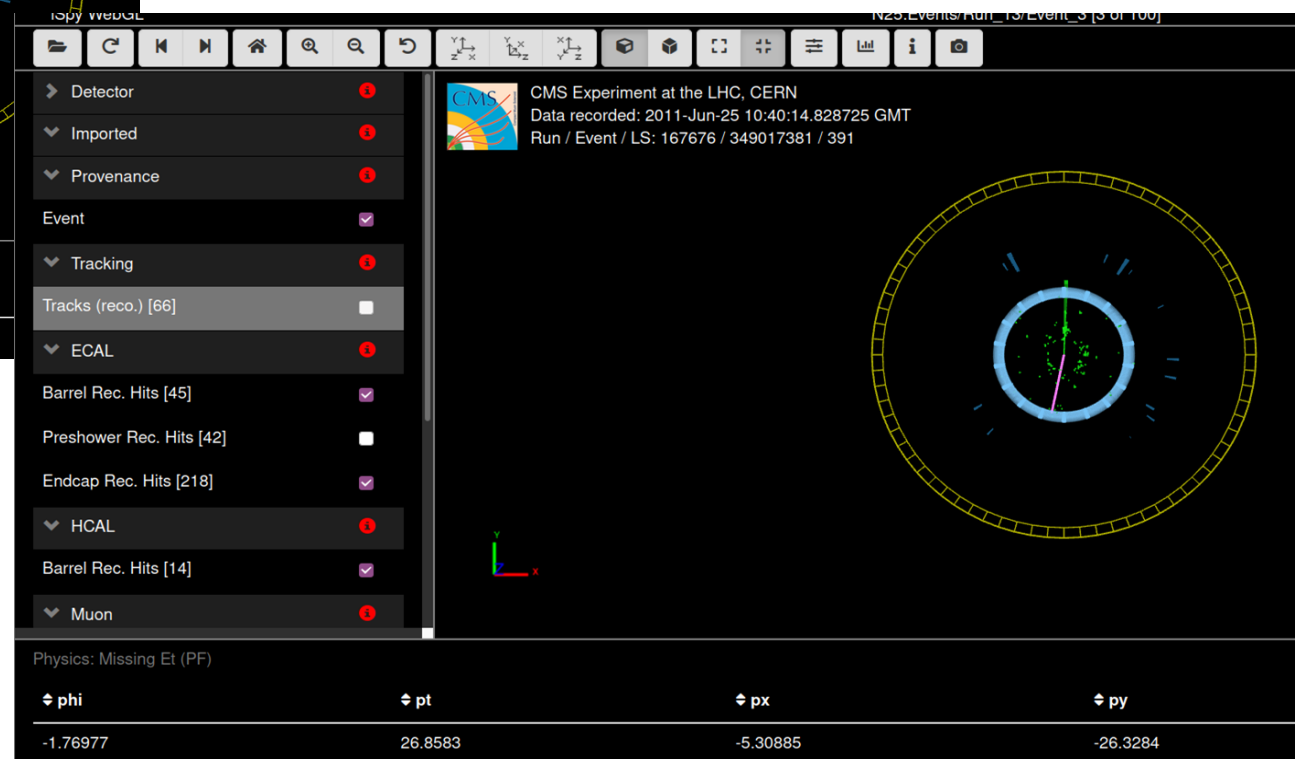
# “Изчистване” на събитието - разглеждаме само необходимото



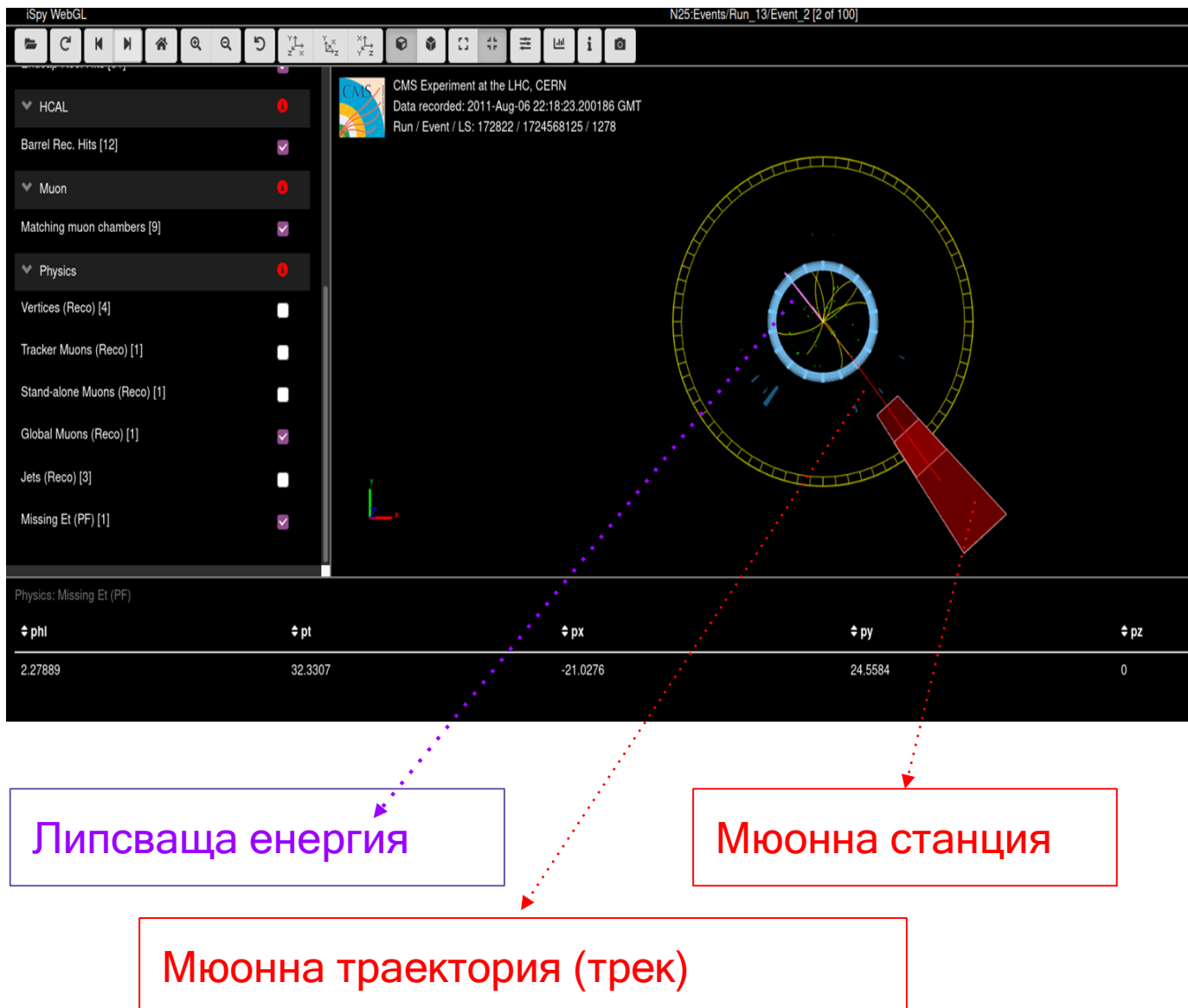
Трековете на заредени частици (в жълто) във вътрешния треков детектор при покриват трековете, които ни интересуват. Просто ги изключете.

След изключване на излишните обекти, се вижда чисто събитие, кандидат за разпад на  $W^- \rightarrow e^- \nu$

Електронните трекове са показани в зелено.  
В лилаво - липсващата енергия.



# Анализ - видове събития - един мюон в крайното състояние ( $W \rightarrow \mu\nu$ )



Мюонните траектории (трекове) са оцветени в червено.

В червено са показани и мюонните станции, в които са засечени мюоните.

В лилаво(розово) е показана липсващата (неизмерена) енергия, определена в напречната равнина (X, Y)

1. Открили сме един мюон и голямо количество липсваща енергия ;
2. Проверяваме електрическия заряд на мюона
  - a. Положителен, ако траекторията се закривява по часовниковата стрелка.
3. Кандидат за разпад на  $W$  на два мюон и неутрино
  - a. Електрическият заряд (на мюона) в крайното състояние = електрическия заряд на  $W$ .
    - i. (Запазване на електрическия заряд).
  - b. В този случай не се пресмята реконструираната маса.

# Анализ - видове събития - един мюон в крайното състояние ( $W \rightarrow \mu\nu$ )

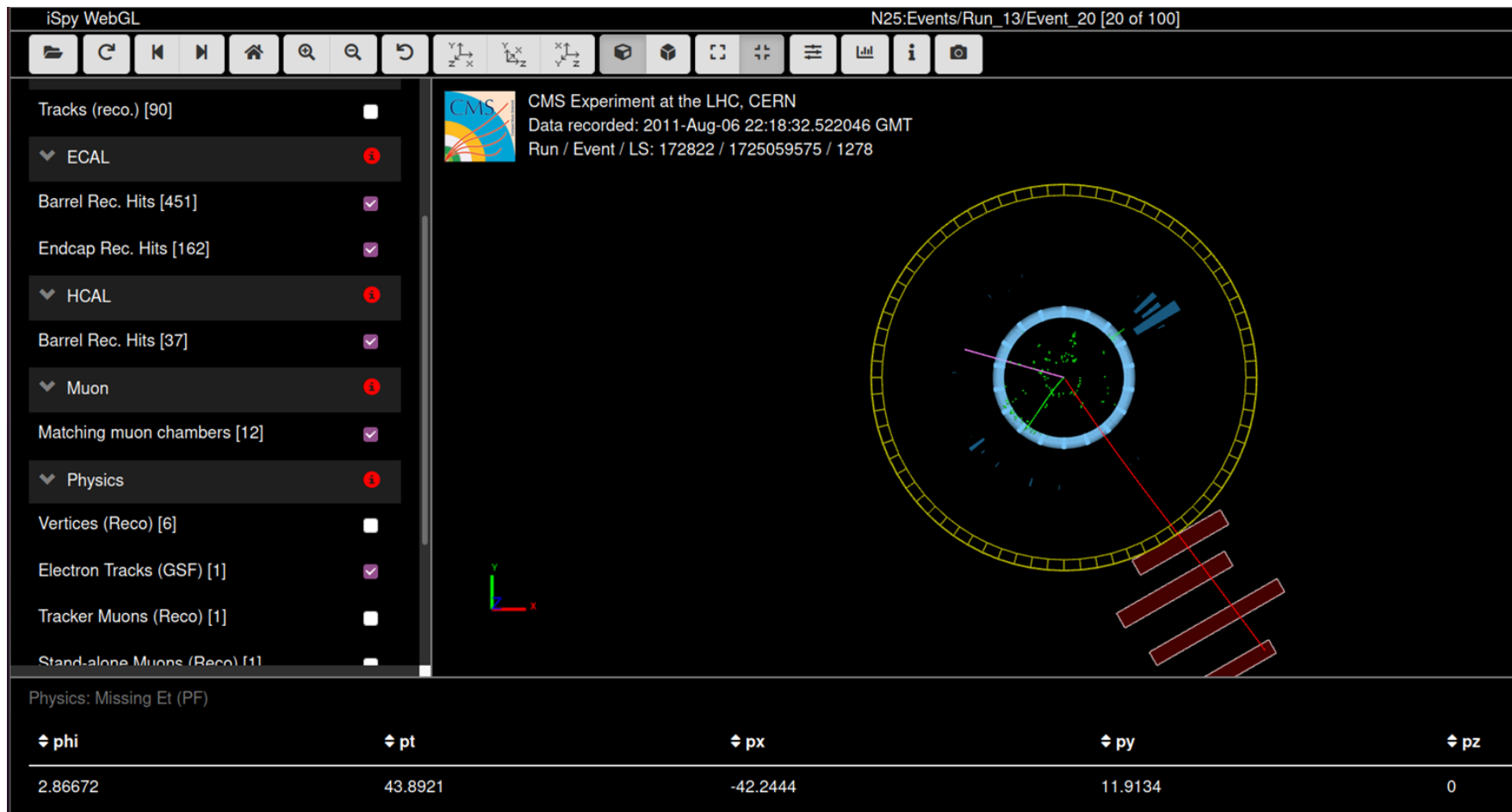
Нанасяне на резултатите в таблицата

The screenshot shows a user interface for selecting a particle event. The interface is divided into four main sections:

- Select Event**: Includes "Event index: 1" (selected) and "Event number: 25.13-1".
- Final State**: Shows options for final state particles: e v, e e, 4e, 2e 2μ. The option "μ ν" is selected, indicated by a purple dot.
- Primary State**: Shows options for primary particles:
  - Charged Particle:** W+ (selected), W-, W±.
  - Neutral Particle (Z, H)**
  - Zoo**A red circle labeled "3\*" is drawn around the "W±" option, with a red arrow pointing down to it from the top right.
- Enter Mass**: A text input field for "GeV/c<sup>2</sup>" and a blue "Next" button. A red circle labeled "4" is drawn around the "Next" button, with a red arrow pointing left to it from the top right.

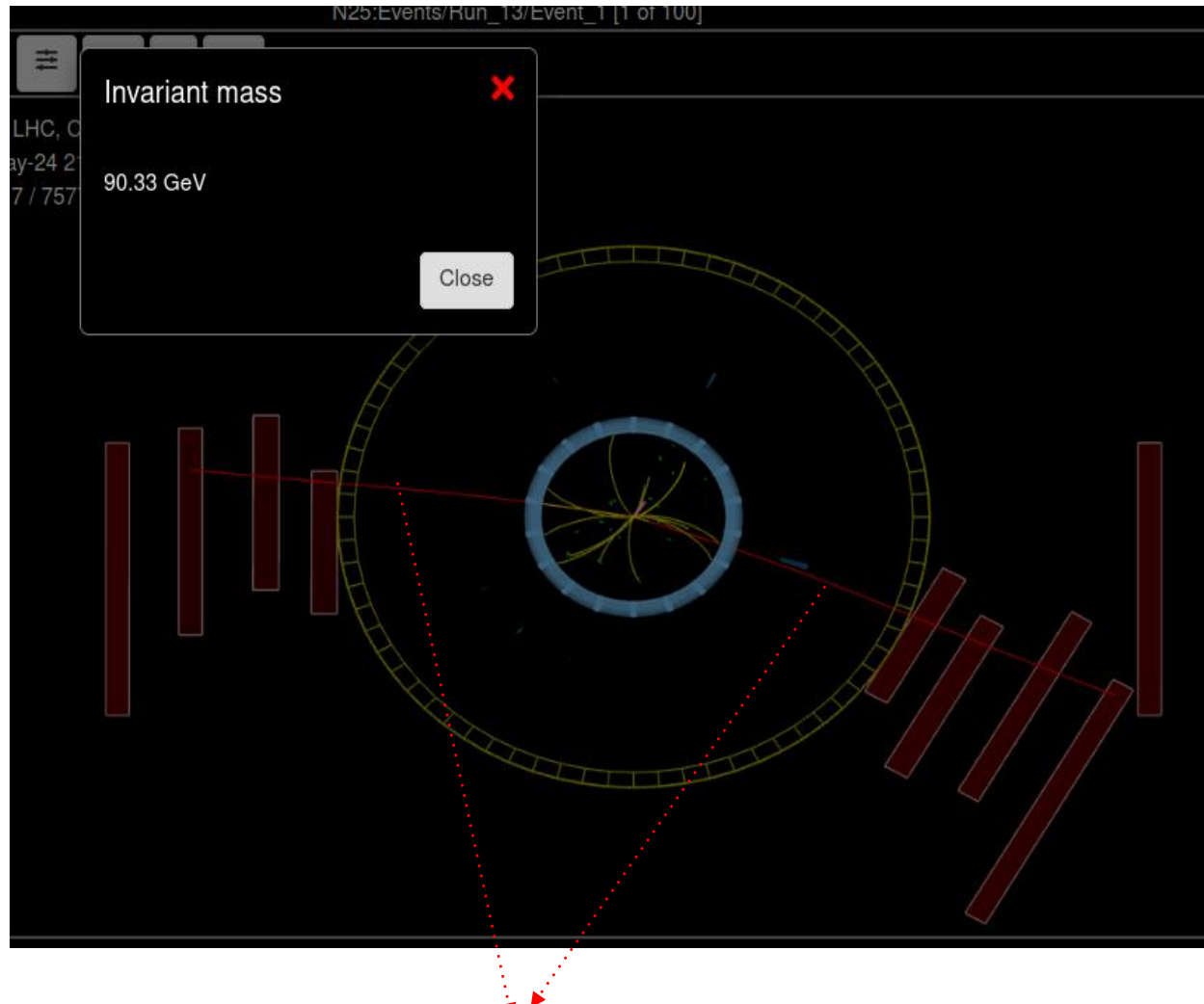
1. Отбелязваме мюон и неутрино в крайното състояние
2. Отбелязваме  $W^+$  началното състояние
  - a. + е определен от заряда на мюона
3. (\*) Ако не сме сигурни за заряда, посочваме  $W^-$
4. Въвеждаме "Next"
5. И към следващото събитие ...

# Анализ - видове събития: ( $W \rightarrow \mu\nu$ ) или ( $W \rightarrow e\nu$ )



За крайното състояние (мюон и липсваща енергия) или (електрон и липсваща енергия) избираме лептона с по-голям напречен импулс (рT).

# Анализ - видове събития - два мюона в крайното състояние



Мюонни траектории (трекове)

Мюонните траектории (трекове) са оцветени в червено.

В червено са показани и мюонните станции, в които са засечени мюоните.

1. Открили сме два мюона
2. Проверяваме дали са с противоположен електрически заряд
3. Ако да, значи имаме събитие, кандидат за разпад на електрически неутрална частица на два мюона (Закон за запазване на електрическия заряд)
4. Пресмятане масата на тази частица:
  - a. Последователно избираме с мишката по веднъж върху двата мюонни трека
  - b. Натискаме клавишът M (на латиница) и се отваря прозорец с изчислената маса.

3.\* Ако в даденият случай, зарядите на двата мюона не са с противоположен знак, значи имаме някакво друго събитие, което не познаваме или не изследваме в момента - отбелязваме го в таблицата като Zoo.

# Анализ - видове събития - два мюона в крайното състояние

## Нанасяне на резултатите в таблицата

Select Event

Event index: 1

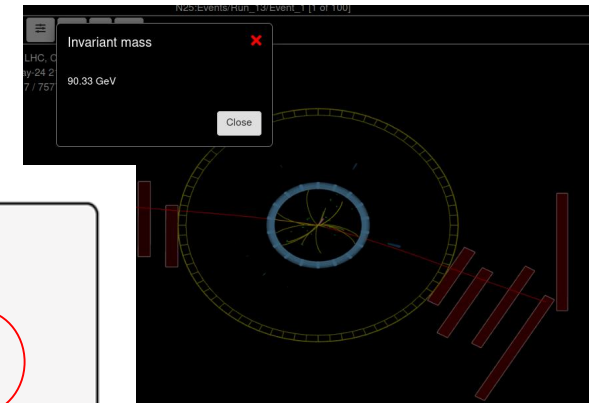
Event number: 25.13-1

| Final State  | Primary State   | Enter Mass       |
|--|---|------------------|
| <input type="radio"/> e v <input type="radio"/> $\mu \nu$            | <input type="radio"/> W $+$ <input type="radio"/> W $-$ <input type="radio"/> W $\pm$ | 90.33 GeV/c $^2$ |
| <input type="radio"/> e e <input checked="" type="radio"/> $\mu \mu$ | <input checked="" type="radio"/> Neutral Particle (Z, H)                              | Next             |
| <input type="radio"/> 4e <input type="radio"/> 4 $\mu$               | <input type="radio"/> Zoo   |                  |
| <input type="radio"/> 2e 2 $\mu$                                     |   |                  |

1

2

3



| Event index | Event number | Final state | Primary state | Mass  |
|-------------|--------------|-------------|---------------|-------|
| 1           | 25.13-1      | $\mu \mu$   | Neutral       | 90.33 |

5

Select Event

Event index: 2

Event number: 25.13-2

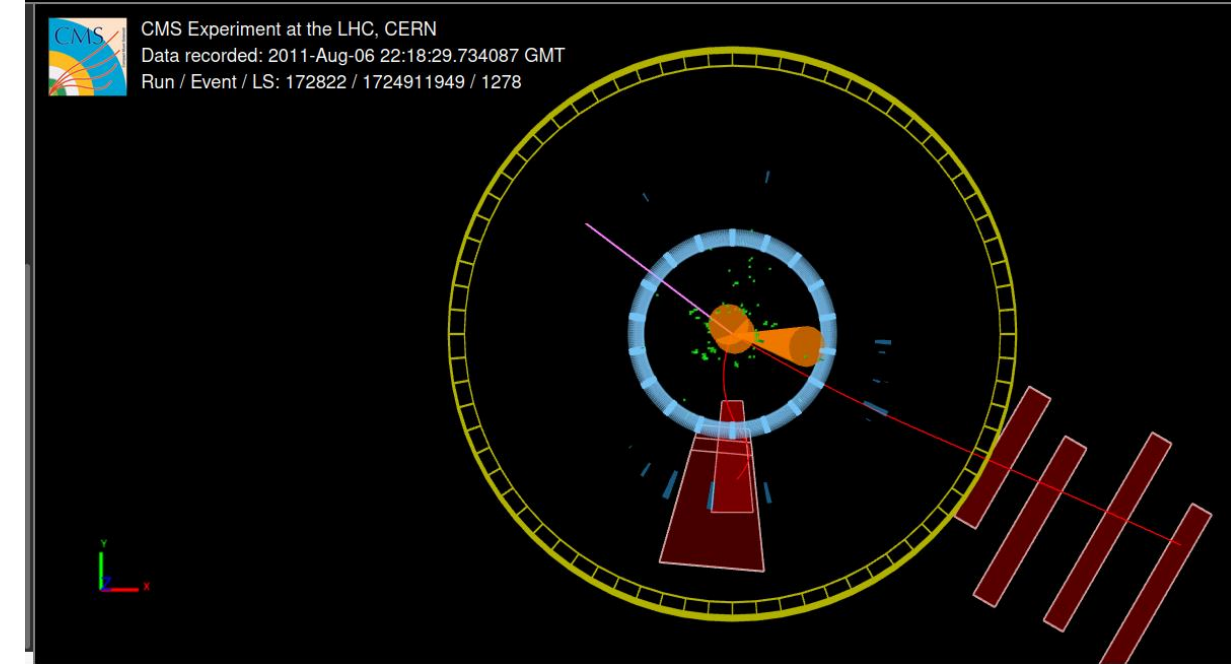
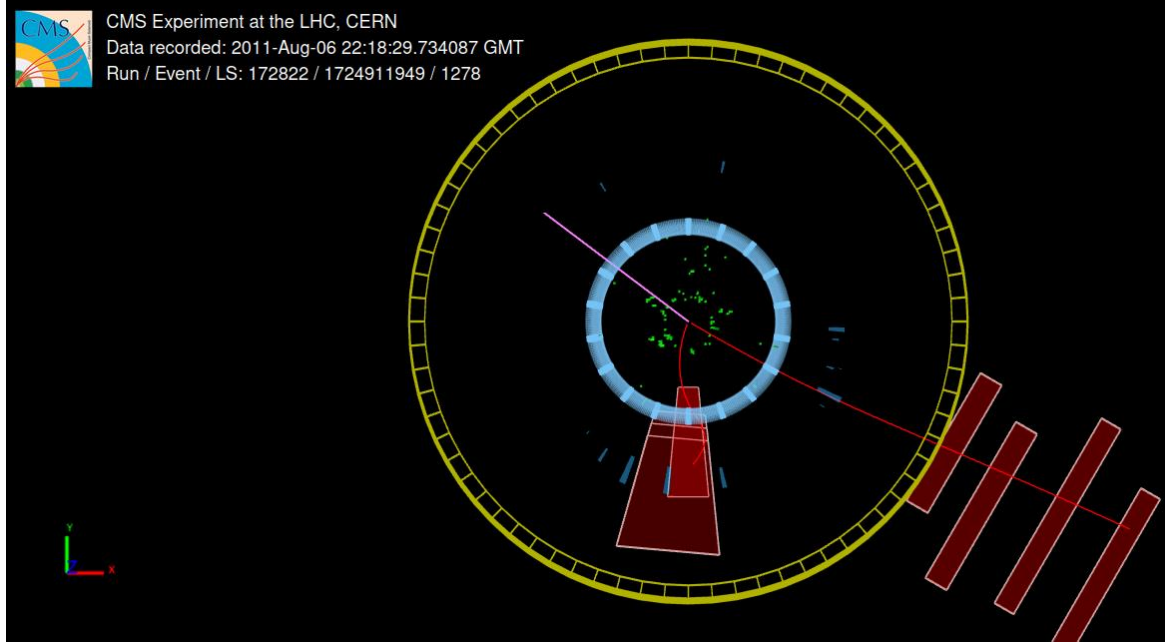
| Final State   | Primary State  | Enter Mass |
|---|--|------------|
| <input type="radio"/> e v <input type="radio"/> $\mu \nu$ | <input type="radio"/> W $+$ <input checked="" type="radio"/> W $-$ <input type="radio"/> W $\pm$ | GeV/c $^2$ |
| <input type="radio"/> e e <input type="radio"/> $\mu \mu$ | <input type="radio"/> Neutral Particle (Z, H)  | Next       |
| <input type="radio"/> 4e <input type="radio"/> 4 $\mu$    | <input type="radio"/> Zoo  |            |
| <input type="radio"/> 2e 2 $\mu$                          |  |            |

| Event index | Event number | Final state | Primary state | Mass  |
|-------------|--------------|-------------|---------------|-------|
| 28001       | 25.13-1      | $\mu \mu$   | neutral       | 90.33 |

1. Отбелязваме 2 мюона
2. Отбелязваме, че се е разпаднала неутрално електрическа частица
3. Въвеждаме нейната маса
4. Въвеждаме "Next"
5. Записът се появява в таблицата и преминаваме към следващото събитие

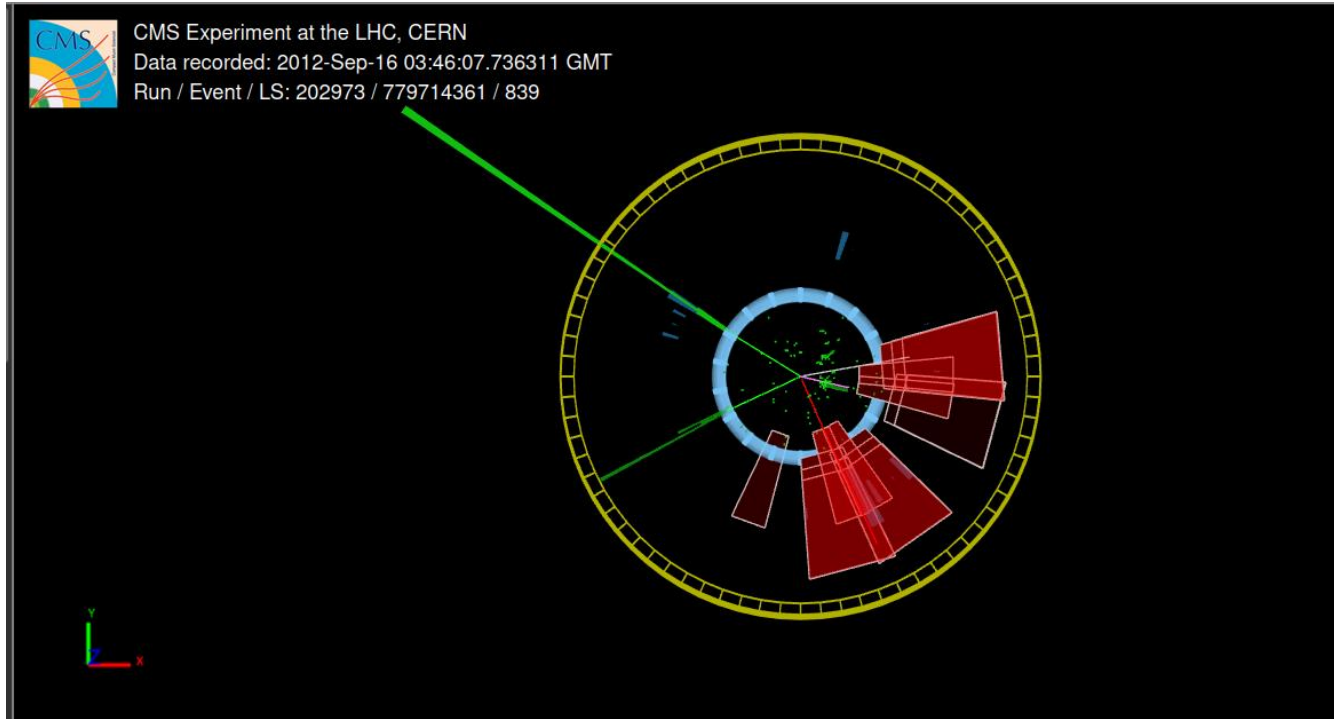
# W, Z или Zoo?

Zoo - събития, които не може да класифицираме към нито една от схемите на разпад, които изследваме



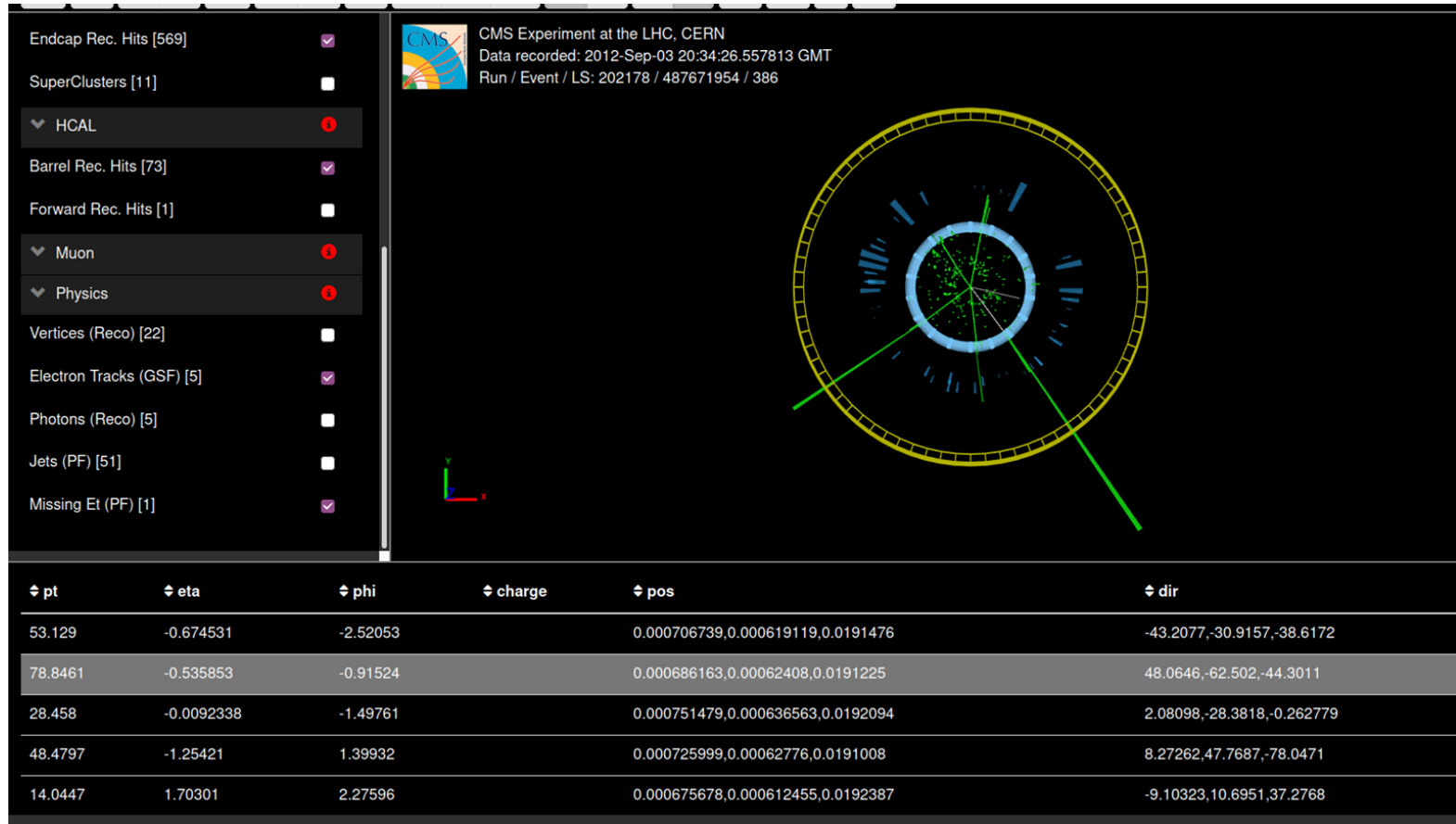
- Проверява се заряда на мюоните - и двата изглеждат с отрицателен заряд!
- Проверяваме напречните импулси на мюоните и липсващата енергия.
- Проверяваме за наличие на силна адронна активност.
- Взимаме решение - ако не сме сигурни, в таблицата с резултатите отбелязваме събитието като Zoo

# Анализ - видове събития - 4 мюона - ( $X^0 \rightarrow 2e2\mu$ )



- Проверяваме поотделно дали общия заряд на двойката електрони и двойката мюони е нула. Ако да - пресмятаме масата на частицата-майка:
  - Избираме (кликуваме) последователно четирите трека (2-та зелени на електроните и 2-та червени на мюоните) и натискаме клавиша M от клавиатурата (на латиница).
- Нанасяме резултатите в таблицата.

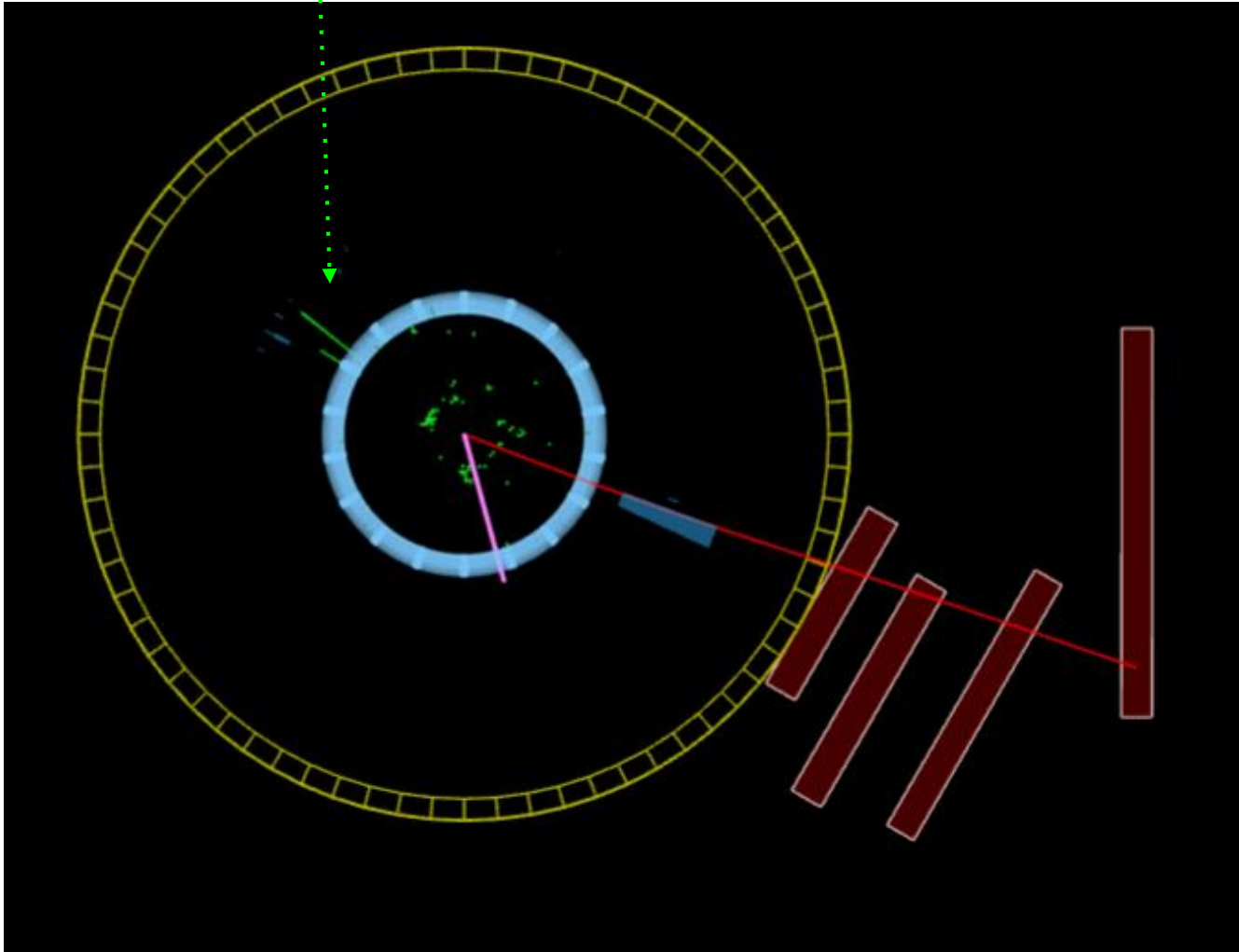
# Анализ - видове събития - 4 мюона - ( $X^0 \rightarrow 4e$ )



- В конкретния случай има 5 реконструирани електрона.
- Определянето на техния заряд не винаги е лесно.
- Кои точно 4 електронни трека да изберем?
- Друг критерий - избираме първите 4 с най-висок напречен импулс (рТ).

- Импулсите на частиците се показват в таблицата под събитието, или ако кликнете върху съответния трек.
- Масата на частицата-майка се пресмята по вече обяснения начин.

# Фотони



- Анализът на събития с фотони не влиза в това упражнение.
- Но е добре да се знае, какво не разглеждаме.
- **Фотоните са визуализирани като зелени трекове, които обаче не са регистрирани във вътрешния треков детектор.**
- Примерът от ляво показва два фотонни, един мюонен трек и липсваща енергия.

## Полезни връзки

[Видео](#) - как се анализират данните в този урок ( 4 минути - на английски)

Таблица [CIMA](#)

[iSpyWebGI](#)

[WZH measurement](#)

[IPPOG](#)

[International Masterclasses](#)

[Quarknet](#)

[CERN Open Data Portal](#)



Б  
Л  
А  
Г  
О  
Д  
А  
Р  
Я